

Abbildungen

Fotos, sofern nicht anders vermerkt, von Melissa Veters, Layout und Design von Melissa Veters und Lisa Neuhalfen. Figurinenzeichnungen und -Rekonstruktionen von Roxana Docsan, Bildbearbeitung teilweise Hans Birk

Abbildung 1

Lage Tiryns und der Kammergrab- nekropole am Prophis Elias bei Tiryns und der Burgberg von Tiryns während der späten Palastzeit

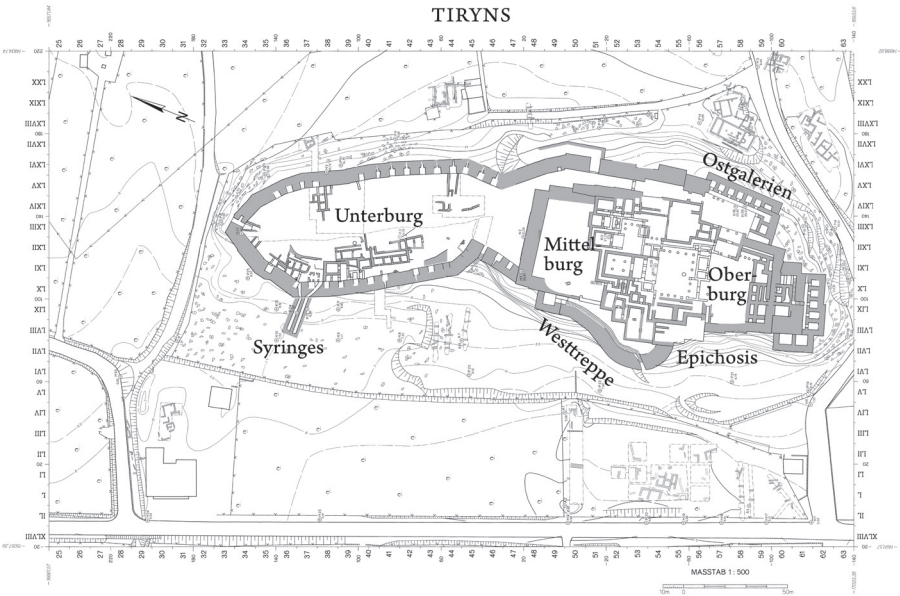


Abbildung 2

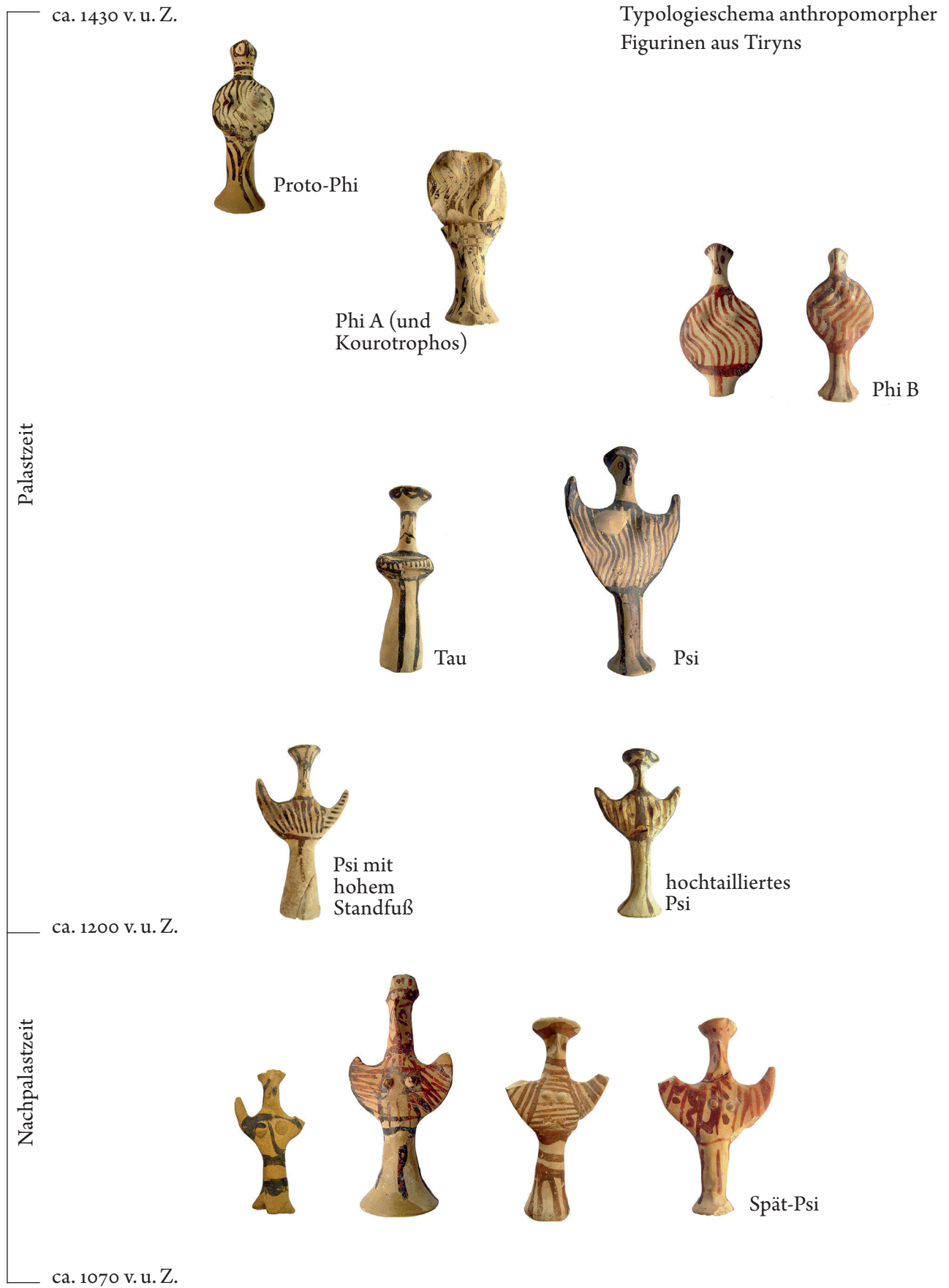


Abbildung 3

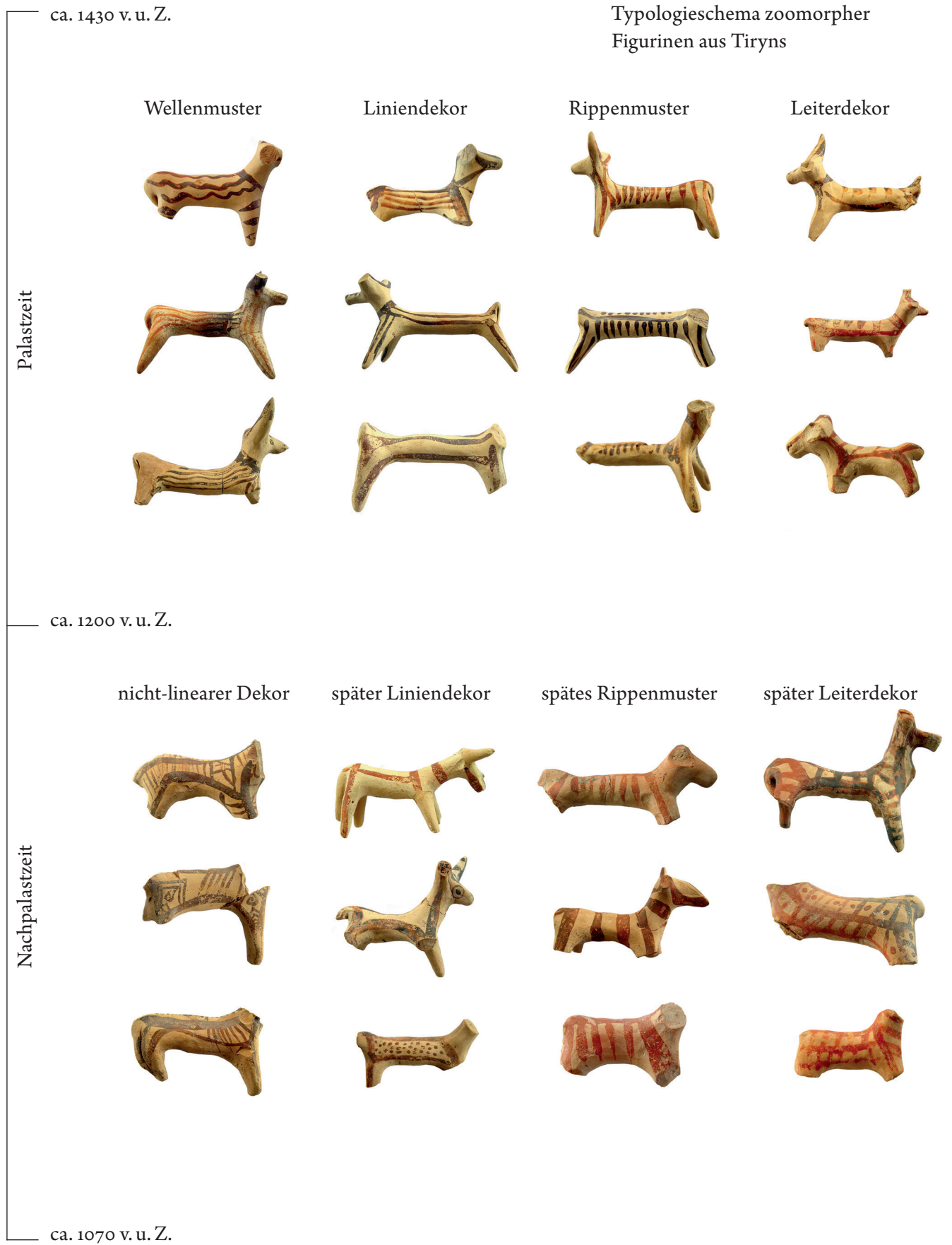


Abbildung 4

Beispiele für diverse skeuomorphe und komposite Figurinentypen



Ochsenkarren- bzw. einfaches Zuggespann



Thronmodelle, Typ A und Typ B



dreibeiniges Opfertischchen



Bett



Miniaturthron



Schiff



Abbildung 5

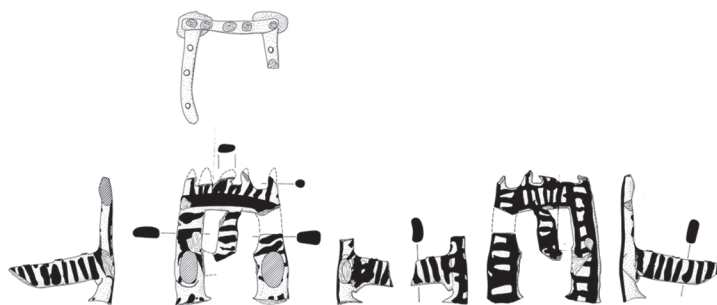
Schema Throne aus Tiryns



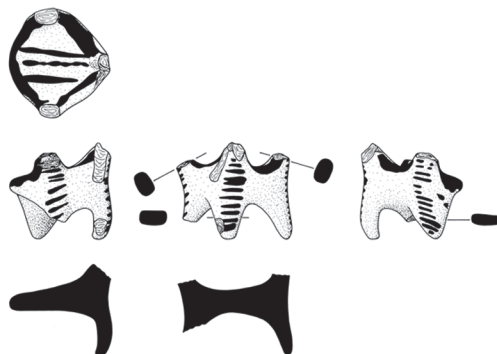
Thron, Typ A und Thron, Typ B



Thron, Typ A mit thronender Figurine



später Thron, Typ B



Thron, Typ B

Abbildung 6

Rekonstruktionen Wagengespanne

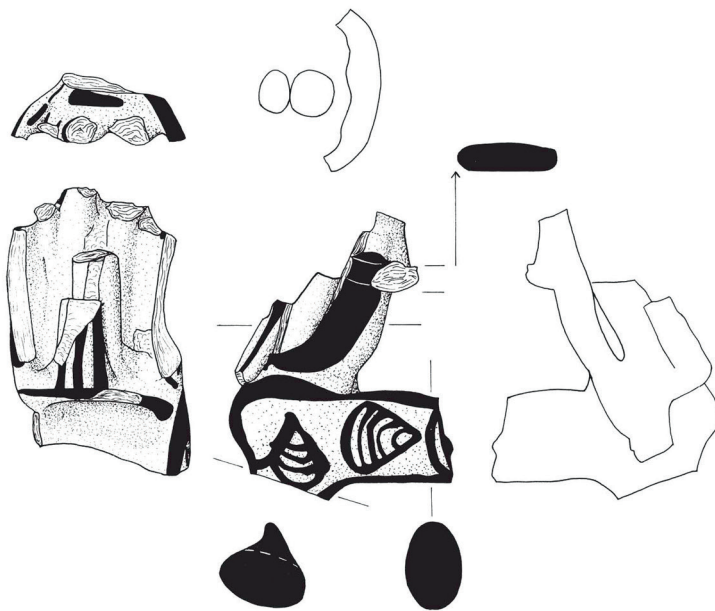
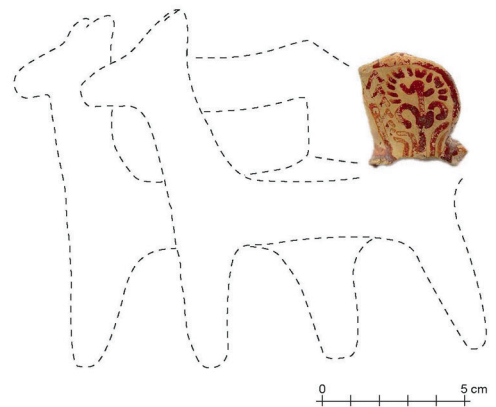
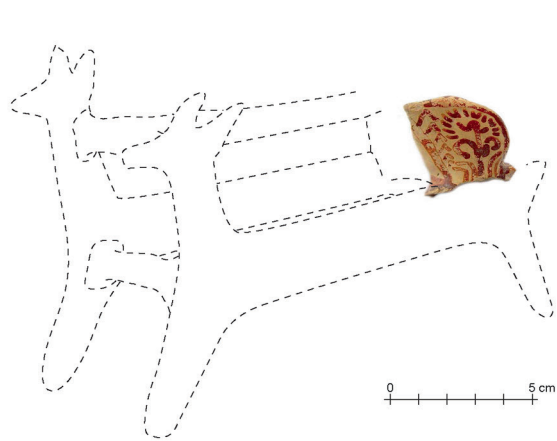


Abbildung 7

Rekonstruktionen doppelte Zugtiere

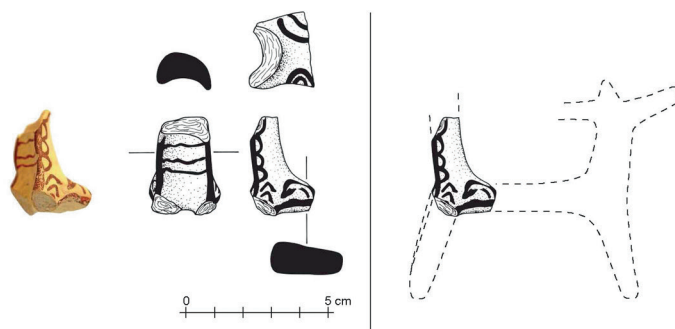
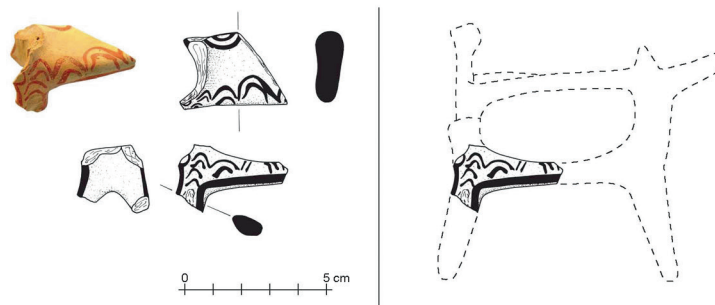
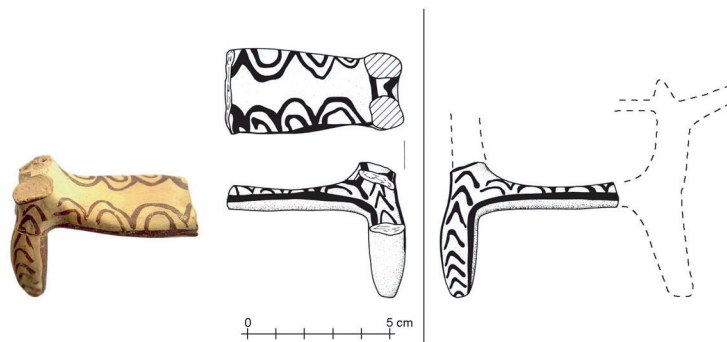
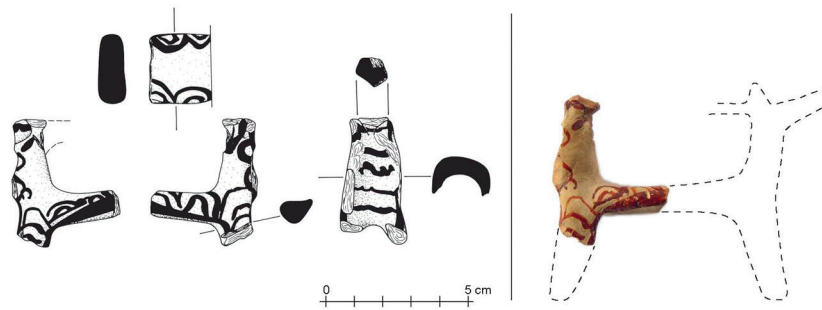


Abbildung 8

frühe Typen anthropomorpher Figurinen



Abbildung 9

Verteilung der Tau-Figurinen auf Grabungsareale in Tiryns, insgesamt 78 Figurinen (die fünf während der Schliemannschen Grabungen gefundenen Exemplare sind nicht kartiert)

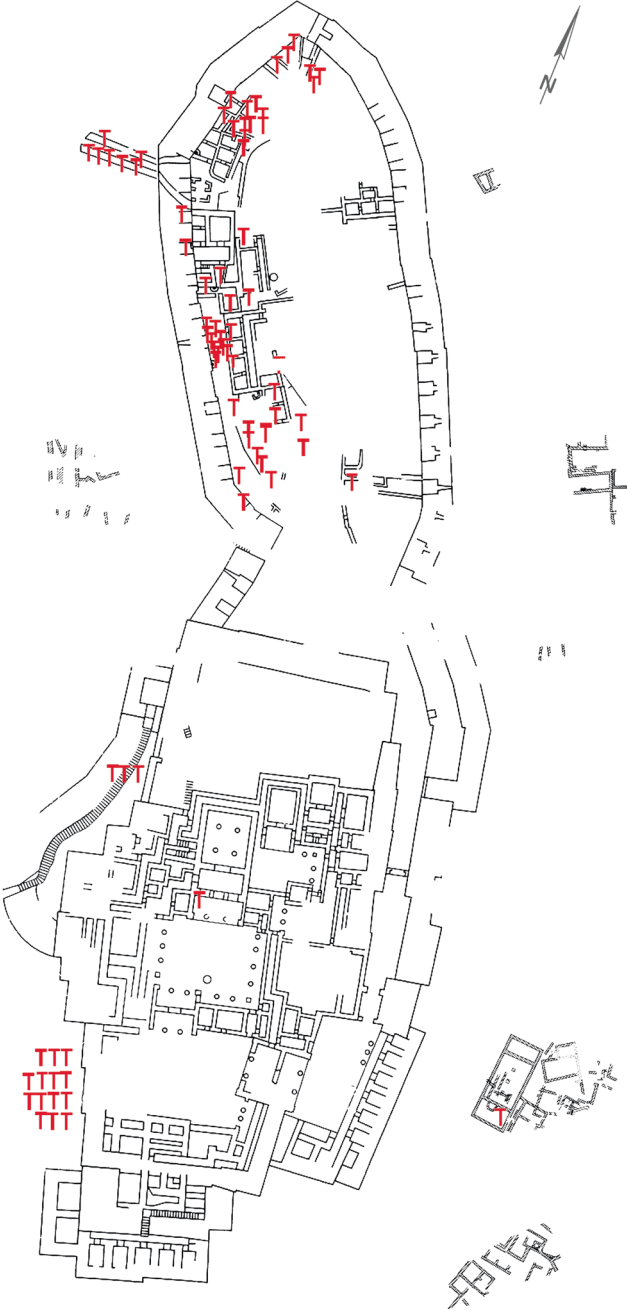


Abbildung 10

Figurinen der HGK und Grauware und
zoomorphe Figurinen der HGK



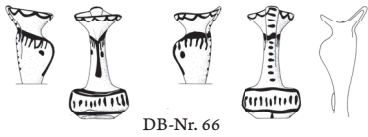
Abbildung 11

Stierkopfprotome DB-Nr. 2409 auf Bandhenkel
einer Knickwandschale (Hor. 21 b1 Ko 4)



Abbildung 12

werkstattgleiche Figurinen (sogenannte erste Werkstatt) der Typen Tau und Rippenmuster, Typ 2, die vermutlich das chemische Spurenelementmuster >Mykene/Berbati< aufweisen



DB-Nr. 66



DB-Nr. 343 und DB-Nr. 344



DB-Nr. 83



DB-Nr. 812



DB-Nr. 1166



DB-Nr. 2604
(nicht maßstabsgetreu)



DB-Nr. 2603
(nicht maßstabsgetreu)



DB-Nr. 2616
(nicht maßstabsgetreu)



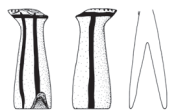
DB-Nr. 796



DB-Nr. 729



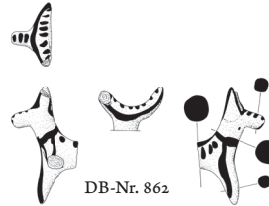
DB-Nr. 196



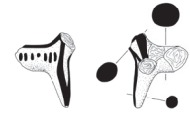
DB-Nr. 16



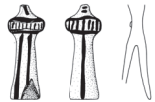
DB-Nr. 2699
(nicht maßstabsgetreu)



DB-Nr. 862



DB-Nr. 932



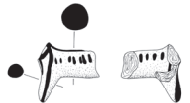
DB-Nr. 810



DB-Nr. 650



DB-Nr. 355



DB-Nr. 865



DB-Nr. 2611



DB-Nr. 2443
(nicht maßstabsgetreu)



DB-Nr. 72



DB-Nr. 1170



DB-Nr. 1167

M 1 : 2

M 1 : 2

Abbildung 13

Spuren des Herstellungsprozesses an anthropomorphen und zoomorphen Terrakotten aus der Epichosis



Abbildung 14

einheitliche Herstellung
hohlgeformter Standfüße



Abbildung 15

Fingerabdrücke auf den Figurinen



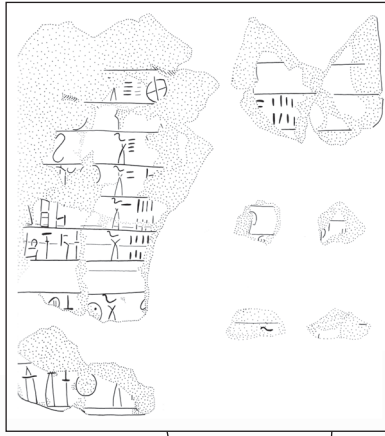
Abbildung 16

Erhaltungszustand der Terrakotta-Figurinen im Grab- (links) und Siedlungskontext (rechts)



Abbildung 17

schematischer Plan des SH III B Mitte-Baus und Figurenfragmente von der Freifläche südlich von Raum R210 sowie Tafelfragmente aus Raum R207 der Linear B-Tafel TI A1 7



LXI 42

LXII 42

LXIII 42

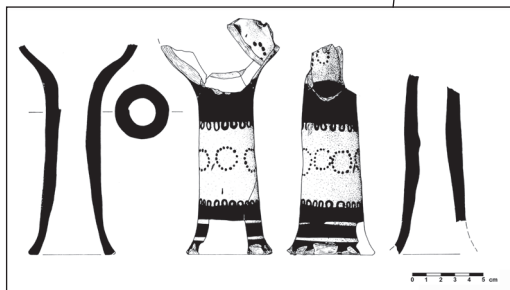
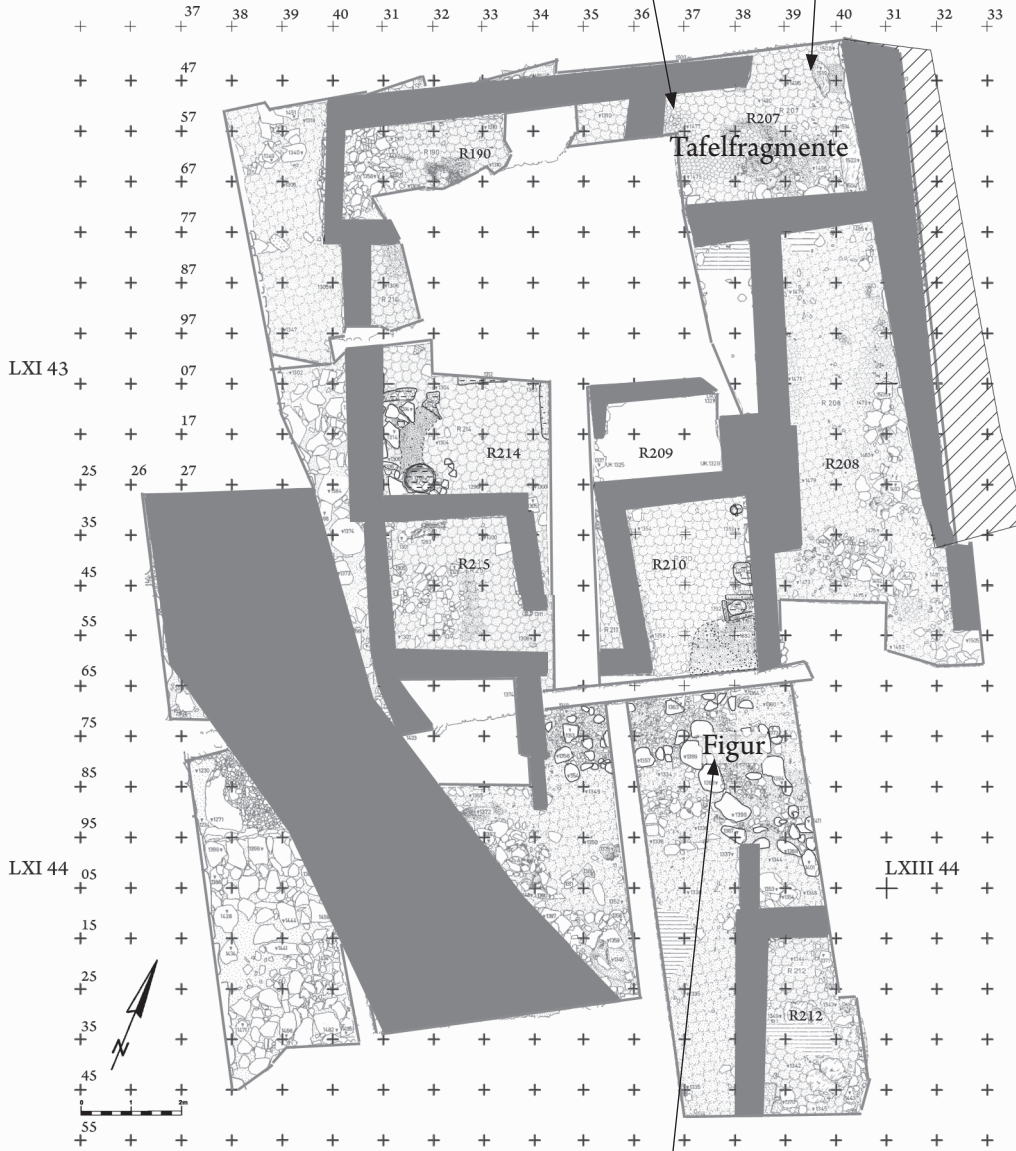
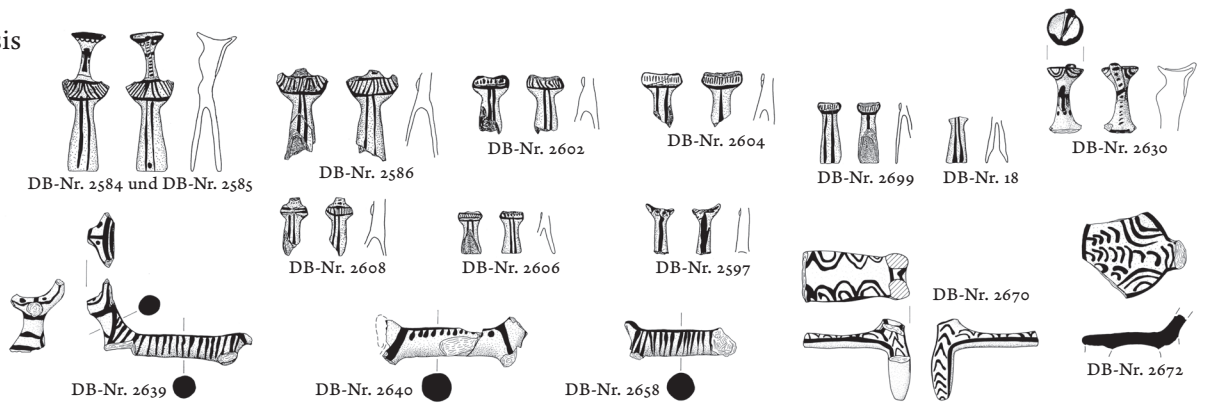
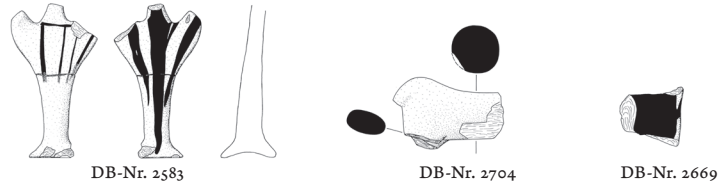


Abbildung 18

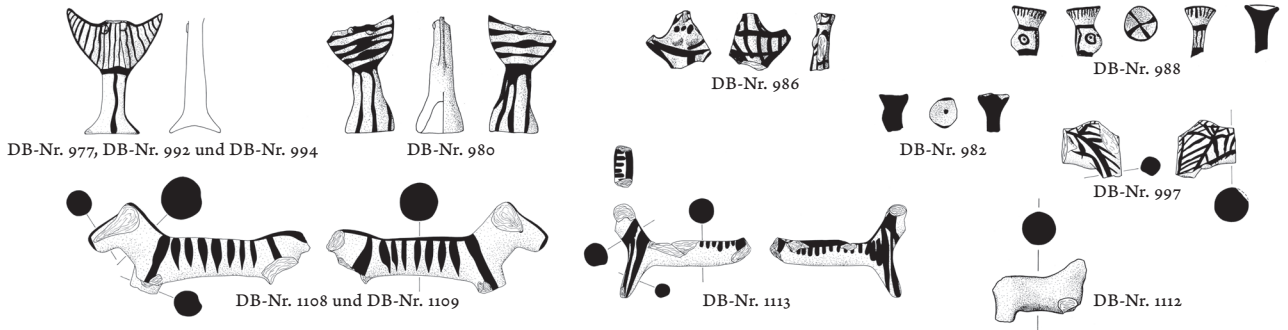
Epichosis



stilistisch nachpalastzeitlich



Stadt Nordwest Hor. 19 A



Unterburg Hor. 19 a

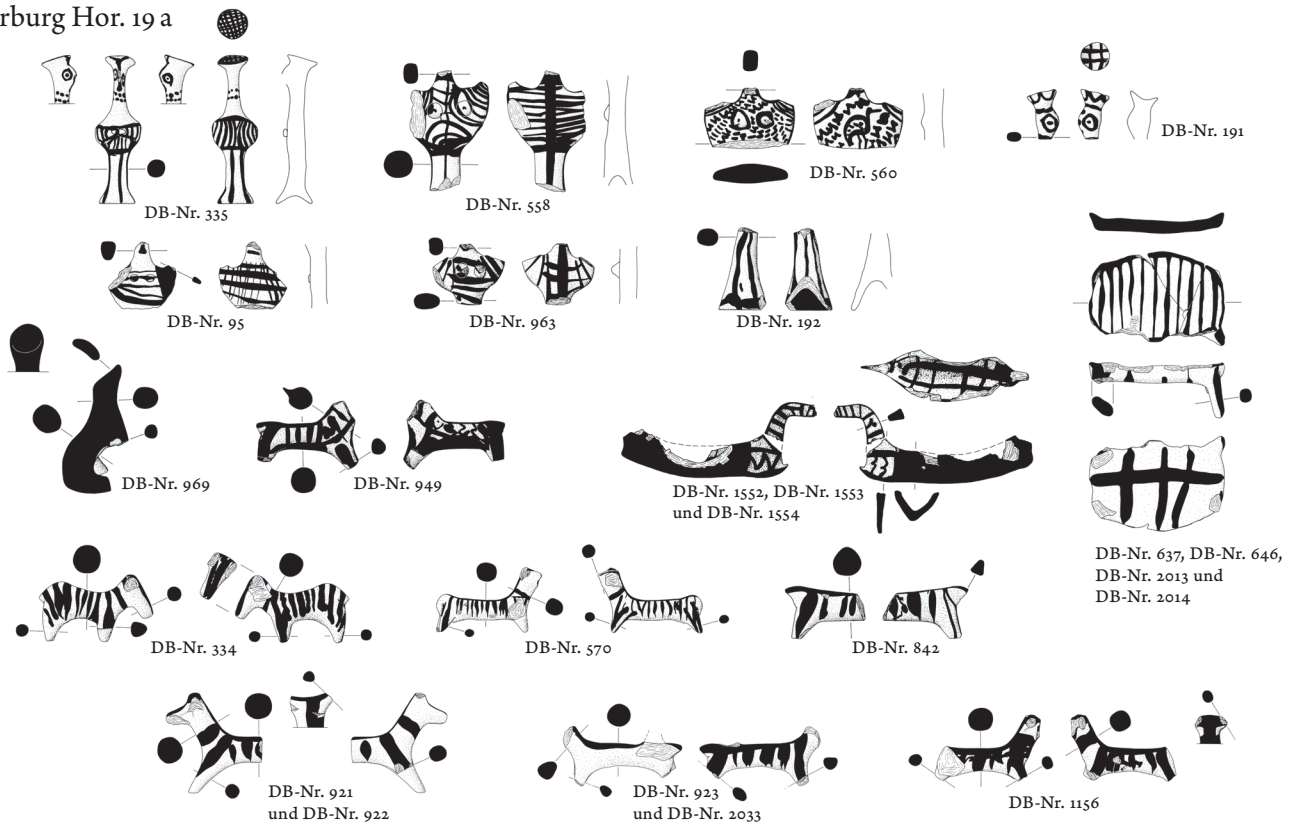
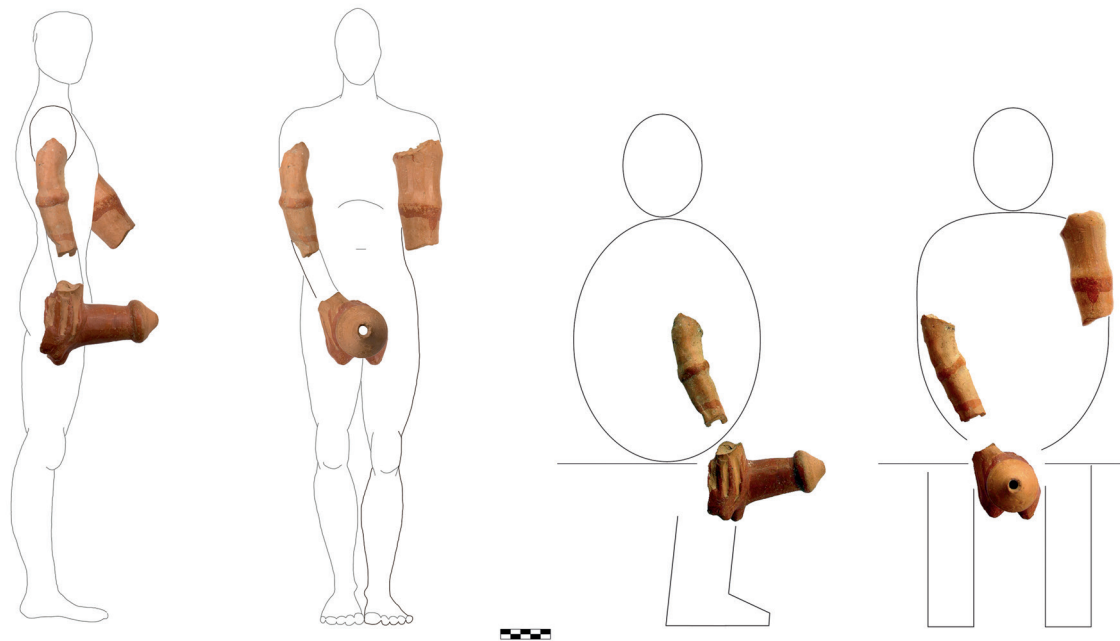


Abbildung 19

zwei Rekonstruktionsvorschläge für die männliche Terrakottafigur aus der Epichosis



linke Seite (Abbildung 18): stilistischer Vergleich der Epichosis-Figurinen mit Terrakotten aus der ersten nachpalastzeitlichen Siedlungsphase in Stadt Nord-west (Horizont 19 A) und der Unterburg (Horizont 19 a)

Abbildung 20

Stierkopfprotome aus der nördlichen Syrix und Kernos in Form mindestens zweier Knickwandschalen aus den Grabungen 1965 im Umfeld der Syringes und Bau III



Abbildung 21

Schliemannfigurinen



0 1 2 3 4 5 cm

Abbildung 22

Miniaturen

Schema anthropomorpher Miniaturen aus Tiryns,
überwiegend aus der Unterburg

ca. 1430 v. u. Z.



Palastzeit



ca. 1200 v. u. Z.

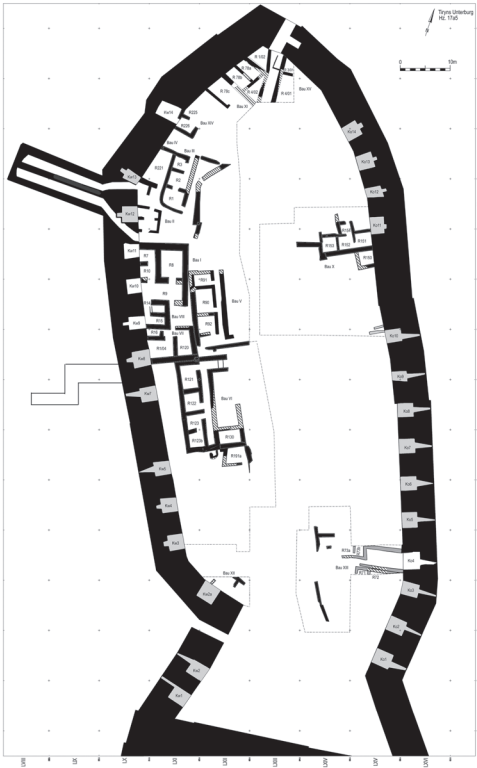
Nachpalastzeit



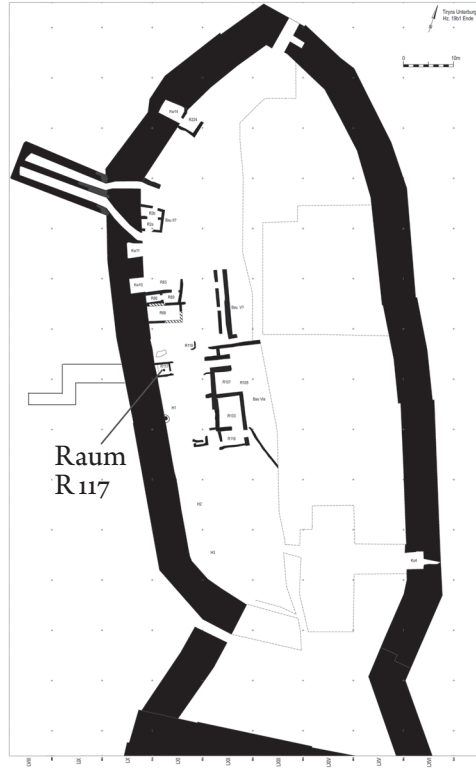
ca. 1070 v. u. Z.

Abbildung 23

Horizont 17 a5 = SH III B Ende



Horizont 19 b1 = SH III C Früh



Lage des Hangschnittes westlich der Unterburg, der Mauerkammer Kw 7 in der Burgmauer und des Zwingers in der Unterburg

Ausschnitt Horizont 17 a3 = SH III B Entwickelt

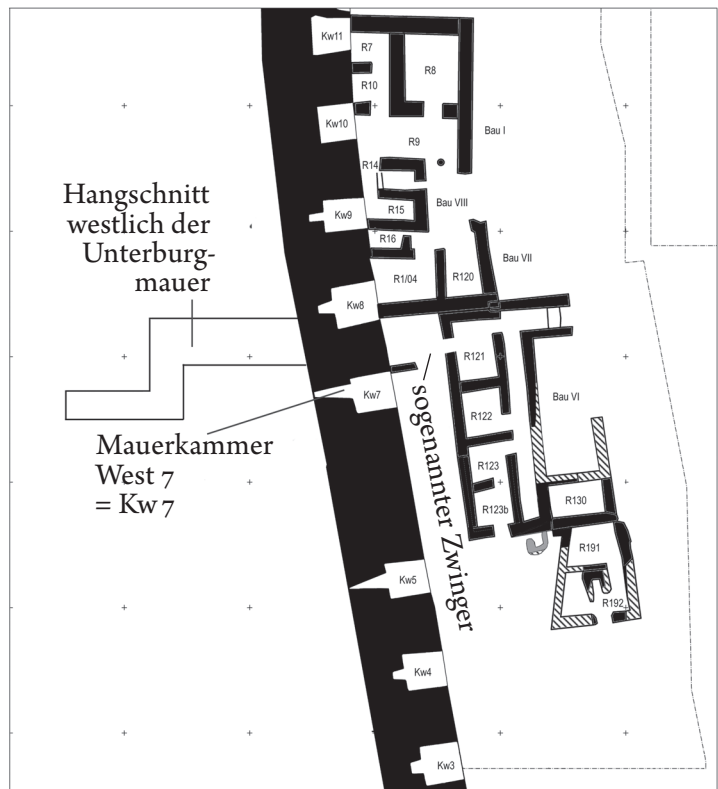


Abbildung 24

oben: zugesetzte Mauerkamer Kw 7 in der westlichen Unterburgmauer;
unten: Mauern des Baukomplexes A und Mauerfugen in der westlichen Befestigungsmauer von Südosten (Zustand nach der Restaurierung 2005)



Abbildung 25

Baukomplex A in der westlichen Unterburg –
ehemalige Bau- bzw. Raumbezeichnung nach Kilian

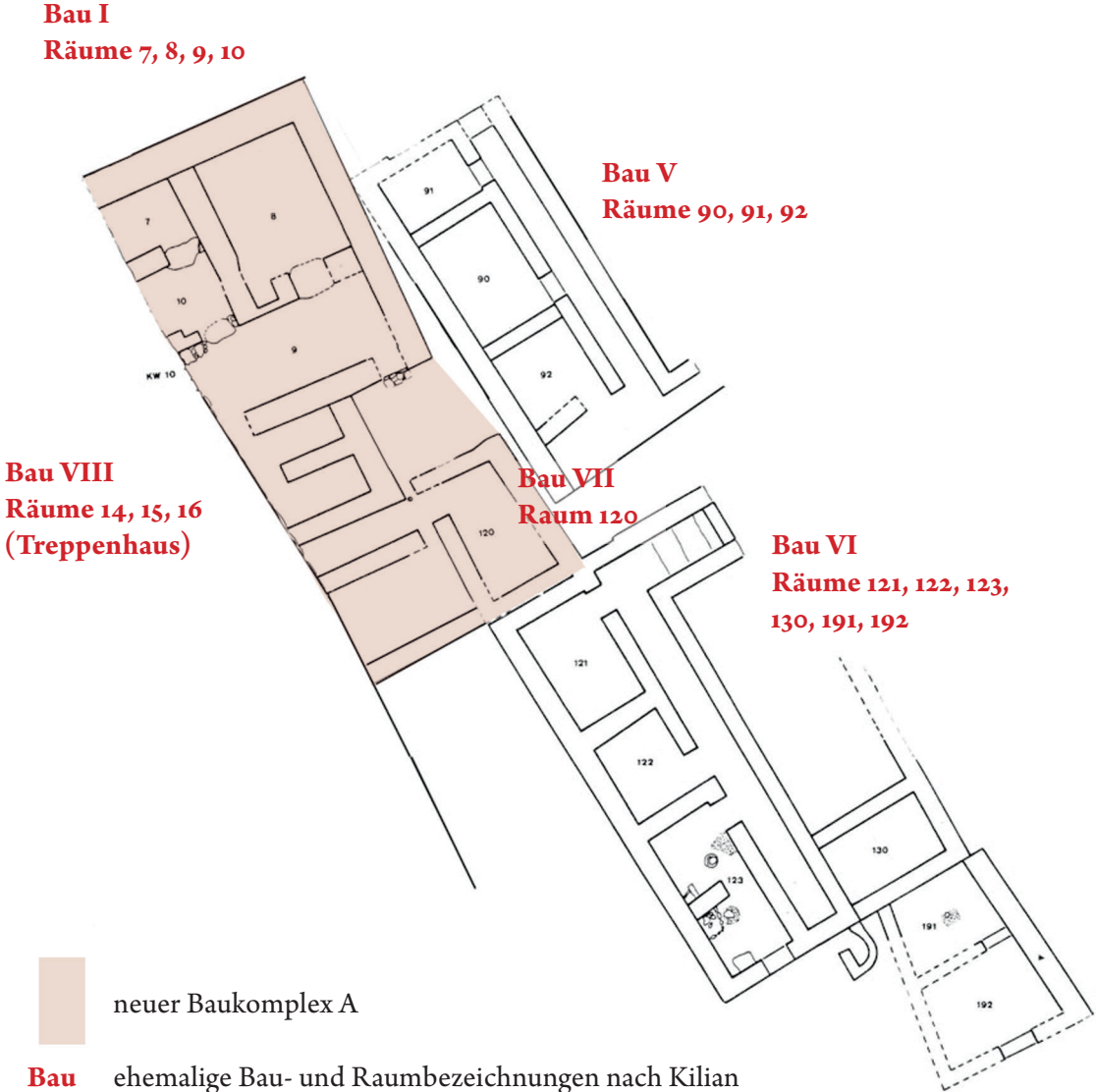


Abbildung 26

Bau I von Norden – monolitische Schwellen in den
Räumen R8 und R10 sowie eine Säulenbasis im Innenhof
(Zustand nach der Restaurierung 2005)

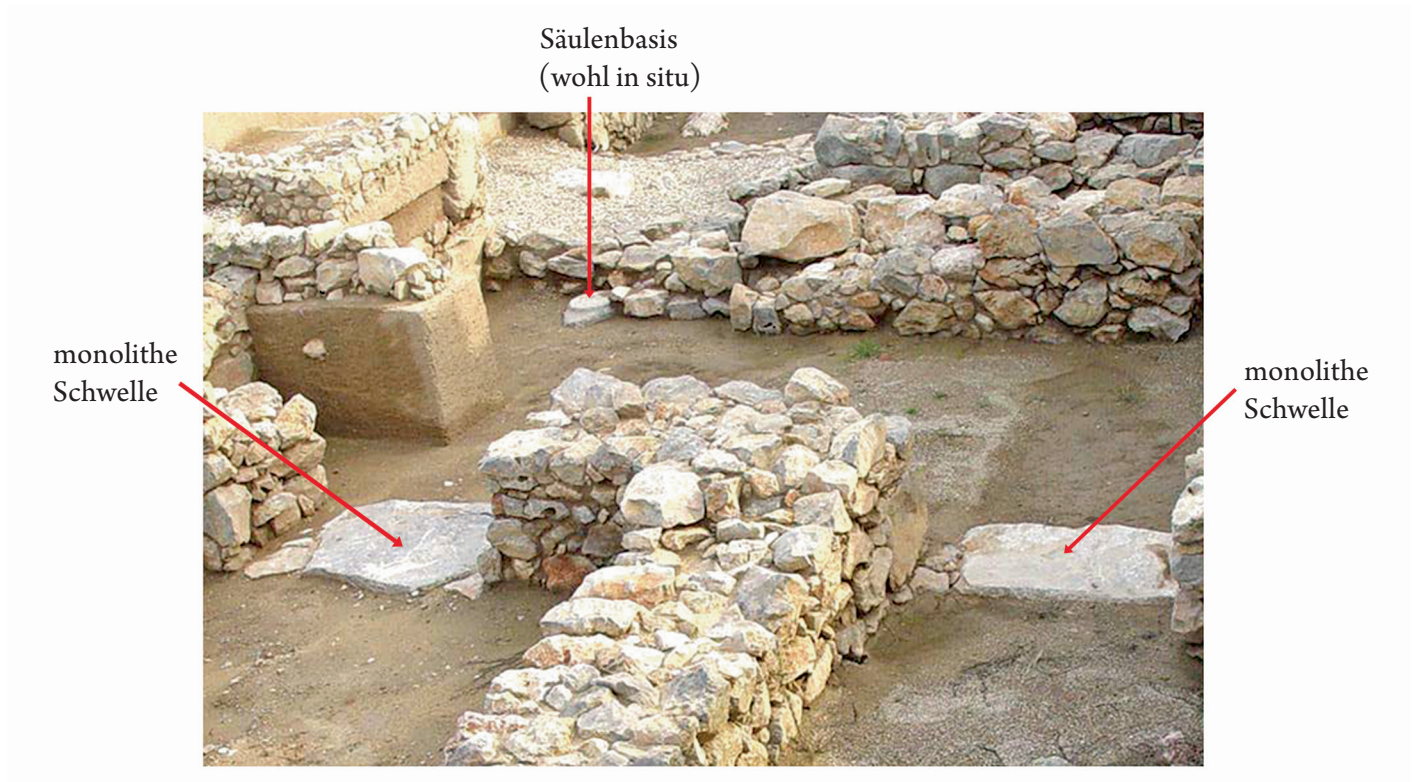


Abbildung 27

schematischer Plan des Raumes R10 und angrenzender Räume sowie atypische Figurinenfragmente aus SH III B Entwickelt- und Ende-zeitlichen Schichten des Raumes R10

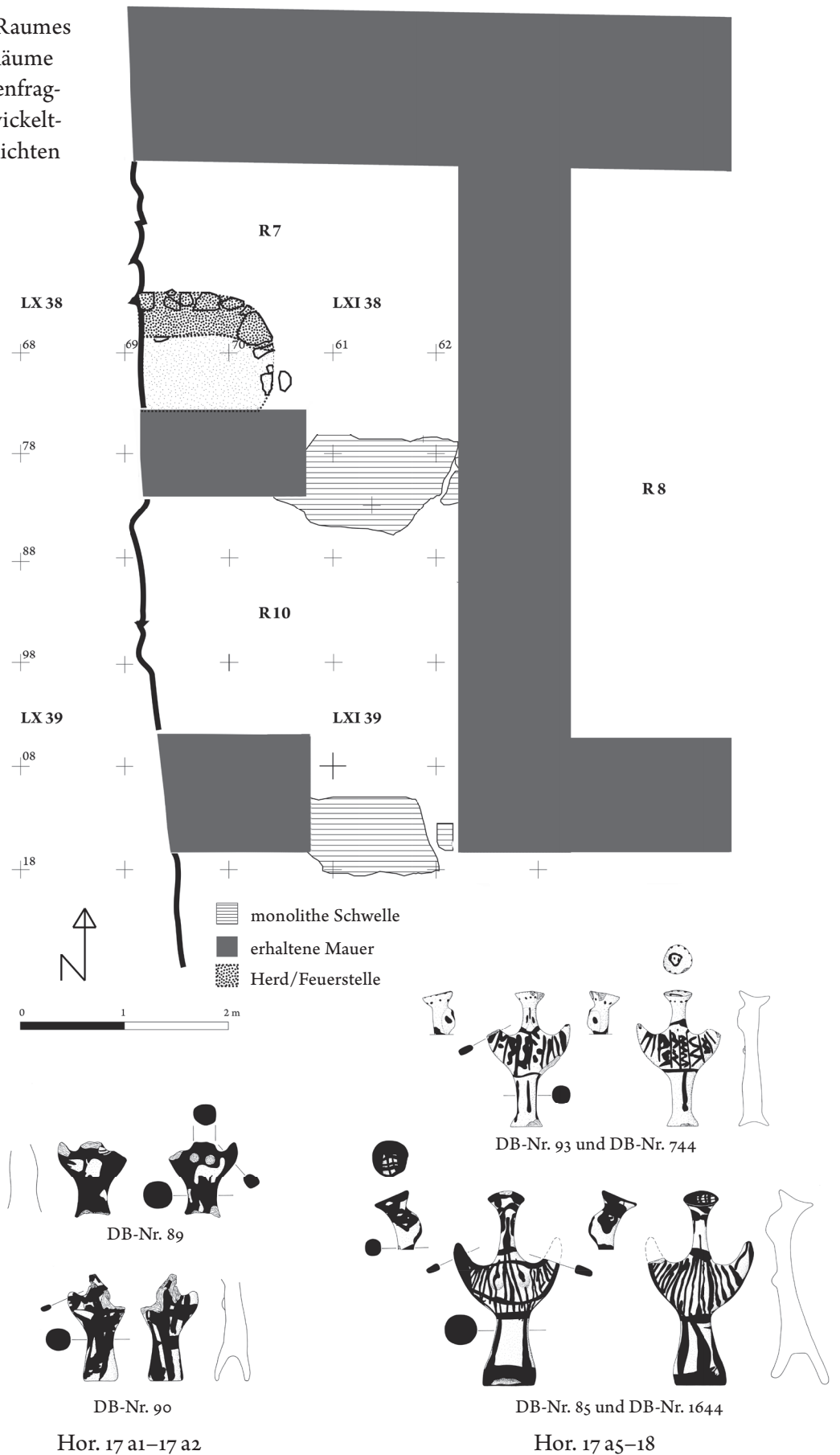
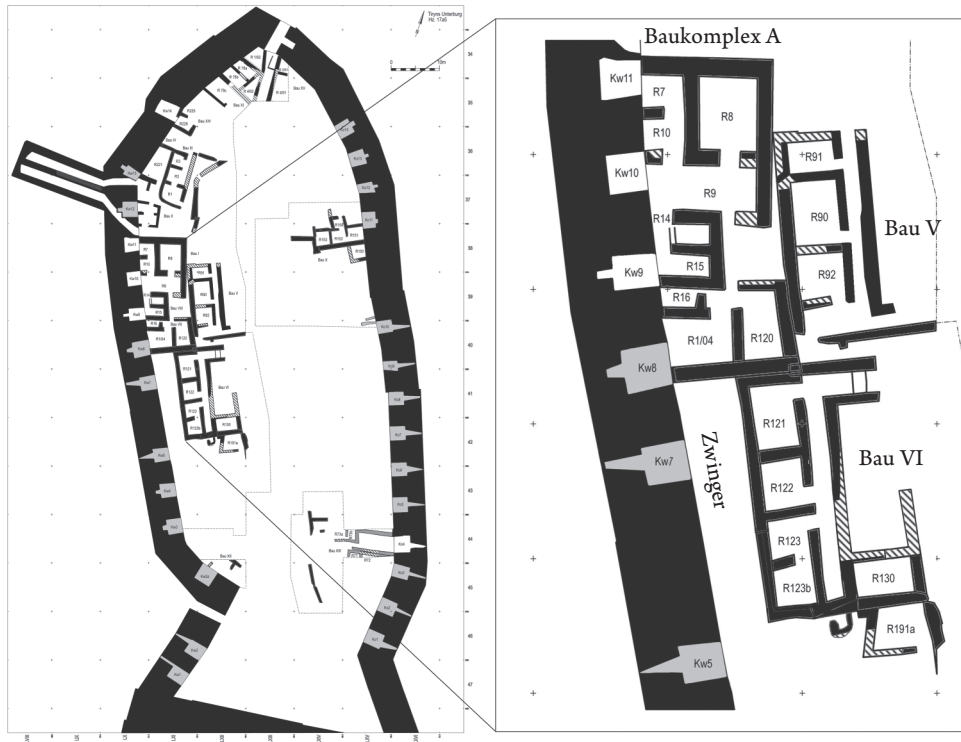


Abbildung 28

oben: schematischer Plan und Ausschnitt des Baukomplexes A, Bau VI und des Zwingers in der Unterburg; unten: Verteilung der Figurinenklassen auf Räume bzw. Freiflächen in diesem Areal



Baukomplex A, Bau VI und Zwinger während SH III B Entwickelt-Ende

Verteilung der Figurinenklassen in Gebäuden und auf Freiflächen gemäß Bauphasen (Hor. 17 a1-17 a4)-(Hor. 17 a5-18)

n=138

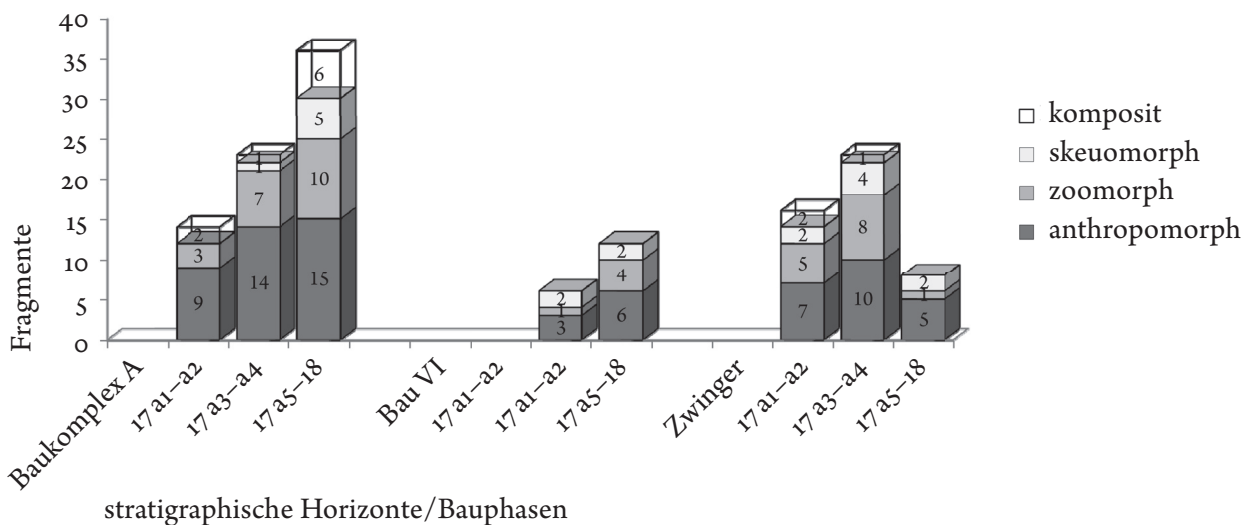


Abbildung 29

links schematischer Plan des Baus VI mit Raum R123; rechts Foto des Baus VI von Osten und Detailaufnahme des Lehnmaltars in Raum R123

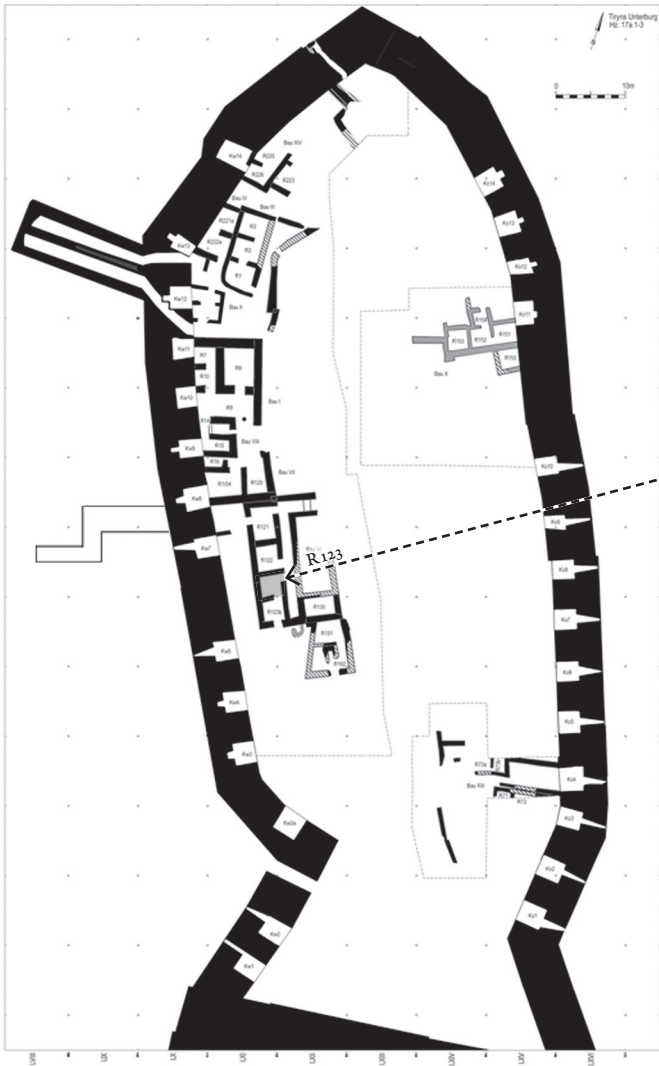


Abbildung 30

Lage des Töpferofens und >R119<
im Horizont 19 a

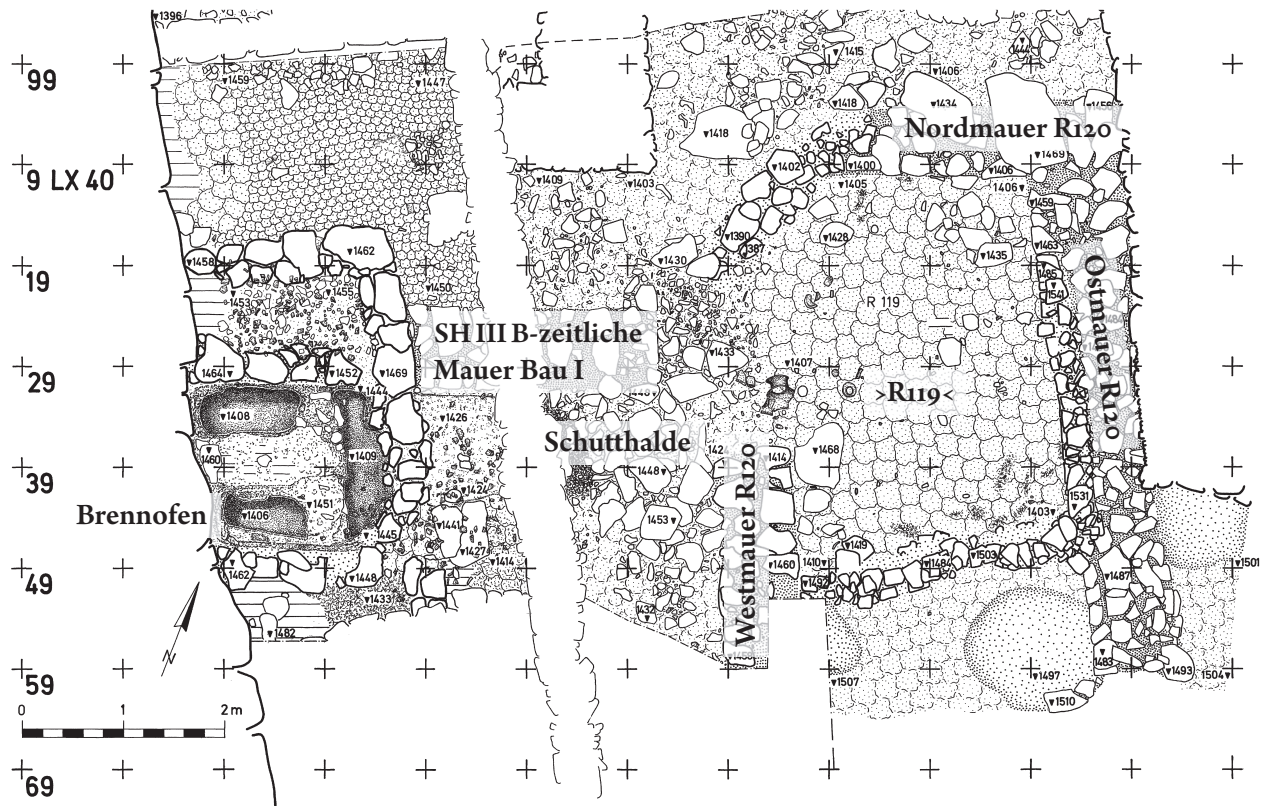


Abbildung 31

Zustand von >R119< nach
Abtragung des Schuttberges

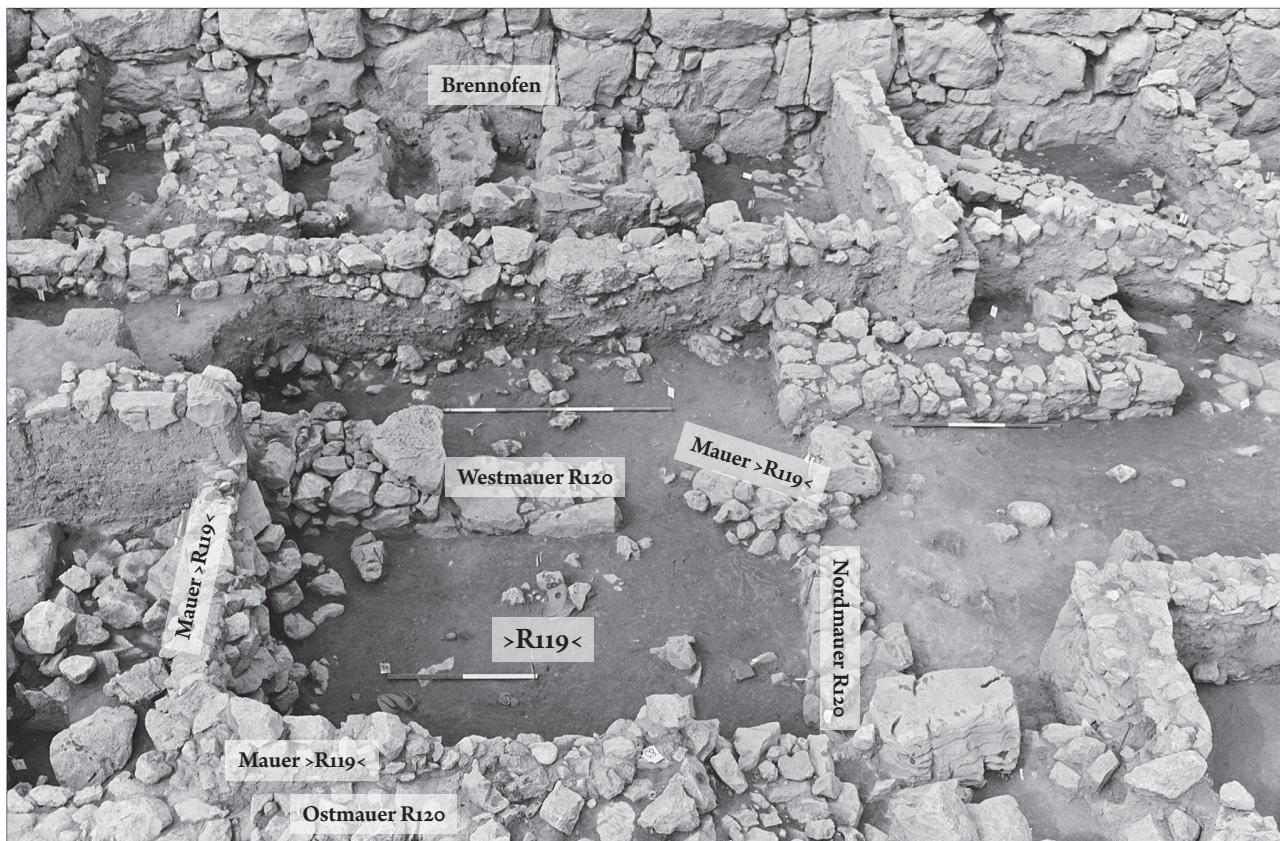


Abbildung 32

Mauerabfolge der Südwand des Baus I sowie
der Nordwand der Räume R117 und R110/R110a
(Zustand nach der Restaurierung 2005)

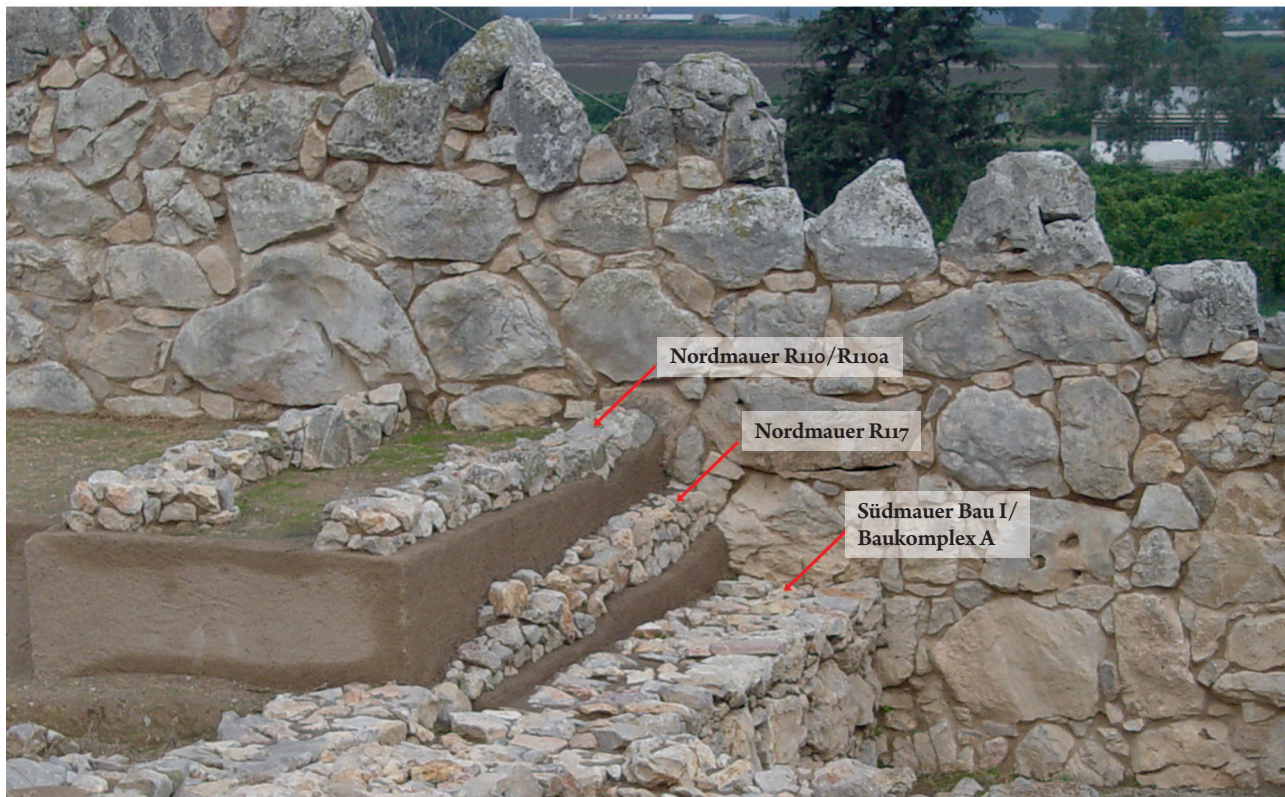


Abbildung 33

Miniaturgefäße unter Raum R117 und Umgebung
sowie Gefäße aus Raum R110



Fußboden (bzw. Bank) R110



unter Mauer M168/
unter R117



unter Fußboden R117



unter Fußboden R117



Abbildung 34

Zustand der Räume R117/R110/R110a
nach der Restaurierung 2005 und Funde
auf dem Fußboden von Raum R110



Abbildung 35

Abriebsspuren am Standfuß
der großen scheibengedrehten
Psi-Figur aus Raum R110



0 1 2 3 4 5 cm

Abbildung 36

stilistische Parallelen zwischen Spät-Psi-Figurinen aus
Raum R117 bzw. dem Hof H1 und dem Hangschnitt



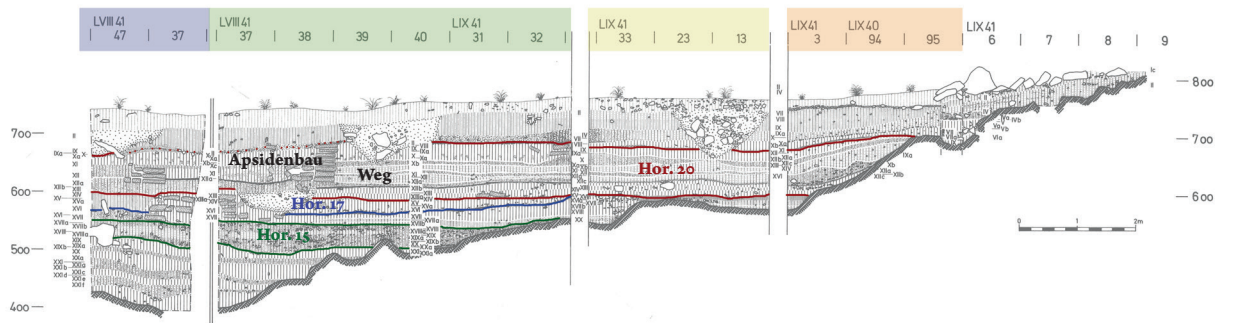
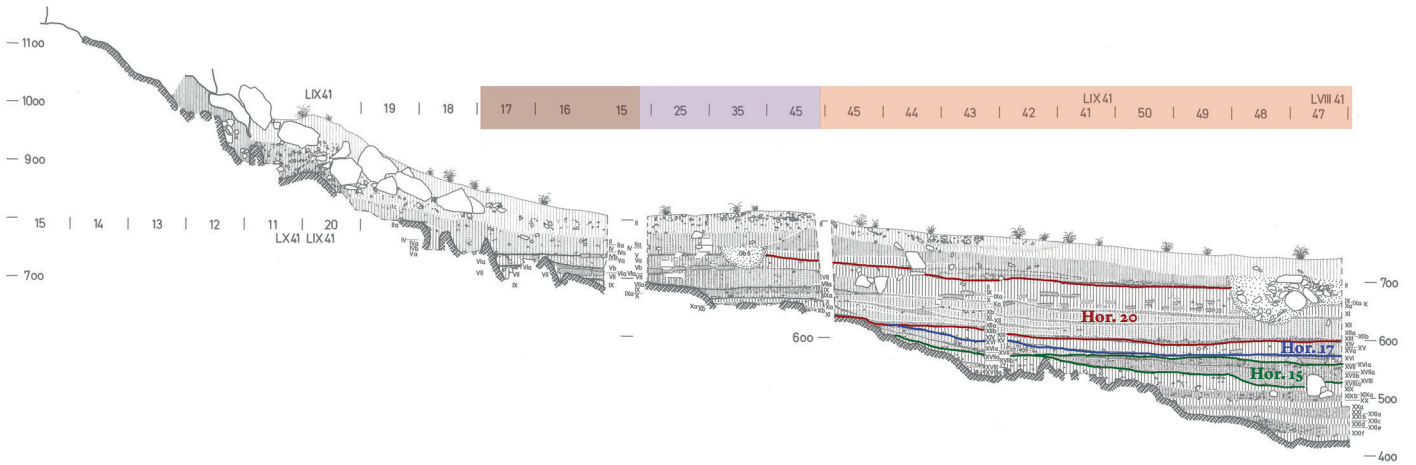
Abbildung 37

stilistische Paare unter den
Spät-Psi-Figurinen



Abbildung 38

Profil des Hangschnittes mit abgesetzten Schichtpaketen der Horizonte 15, 17 und 20



Submykenisch/
Protogeometrischer
Apsidenbau

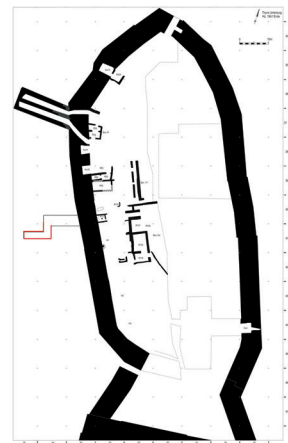
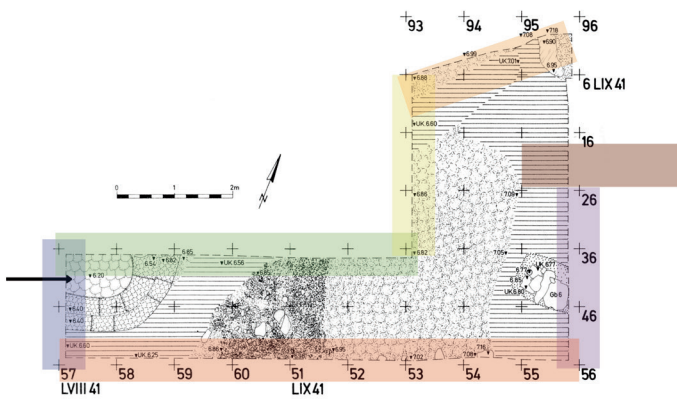


Abbildung 39

Lage der beiden Grabungsareale (NW und NO)
im nördlichen Stadtgebiet

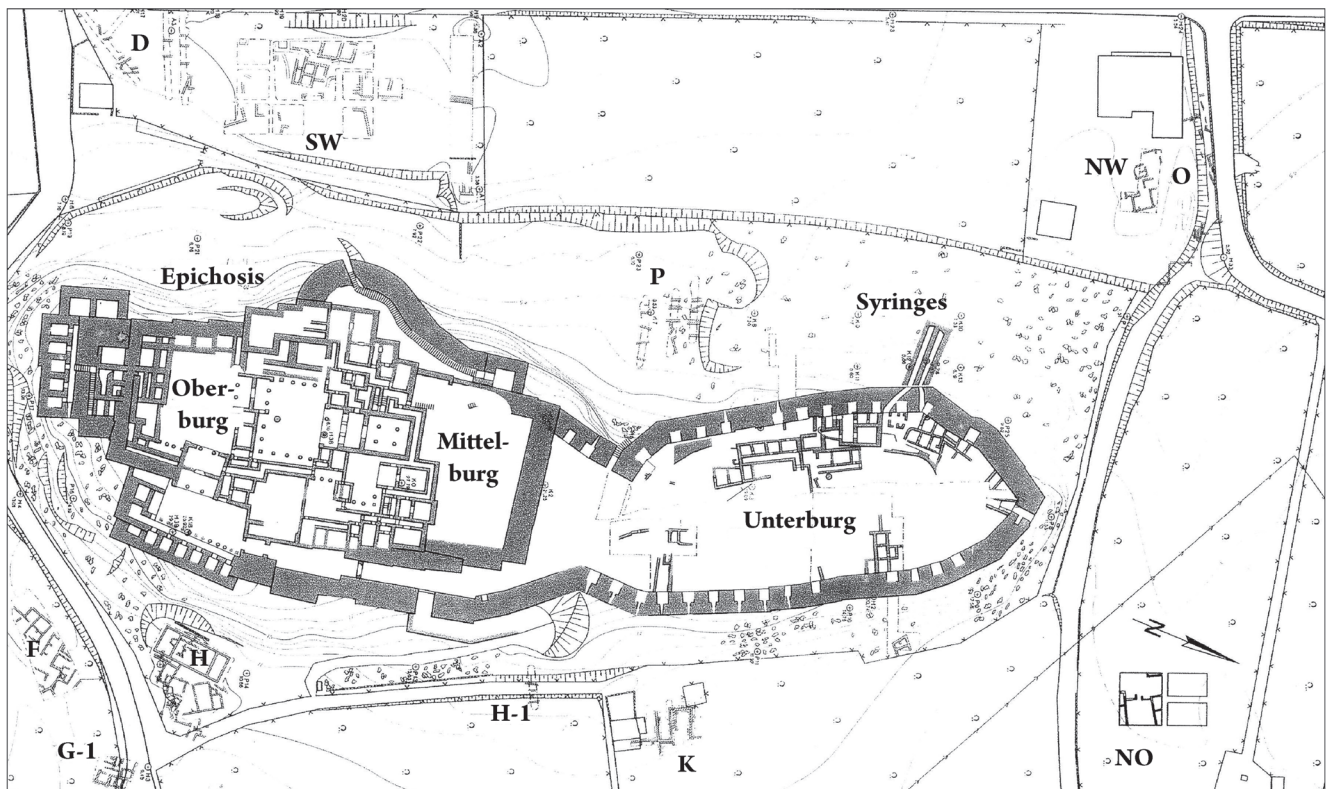


Abbildung 40

Figurinenfragmente aus Stadt Nordwest,
die in Räumen gefunden wurden

ST-NW: Verteilung der Figurinen auf Räume
n = 21 Figurinen (am=8, zm=12, sm=1)

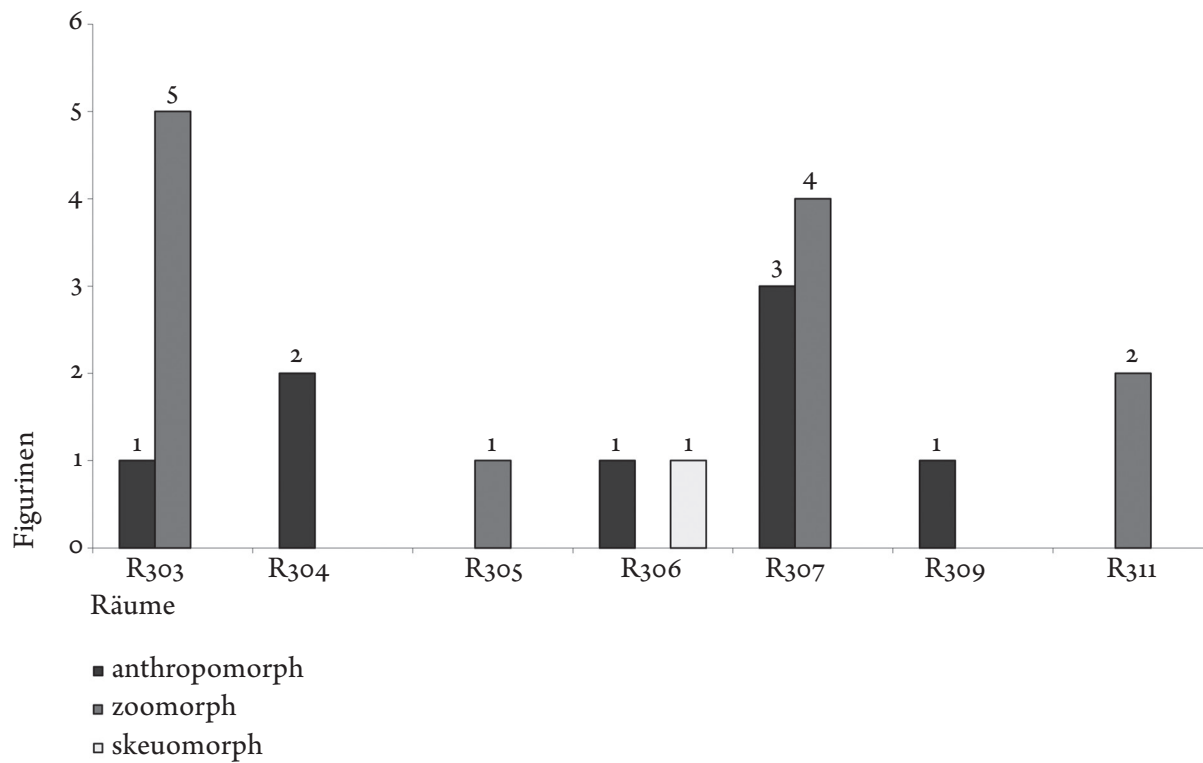
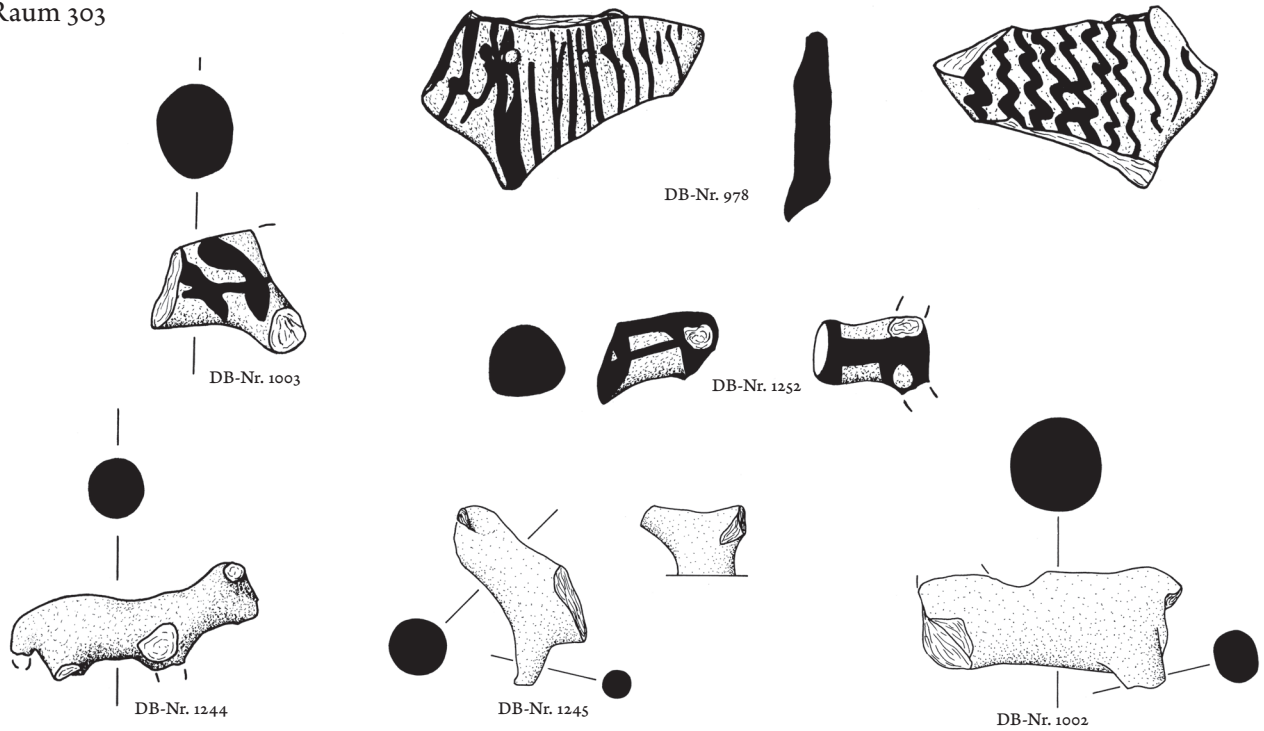


Abbildung 41

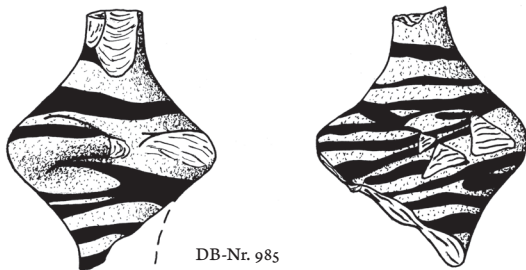
Erhaltungszustand und Typenspektrum während der dritten Siedlungsphase in Stadt Nordwest M 1 : 2

Horizont 20 A1 und jünger

Raum 303



Freifläche



Raum R303a/G1

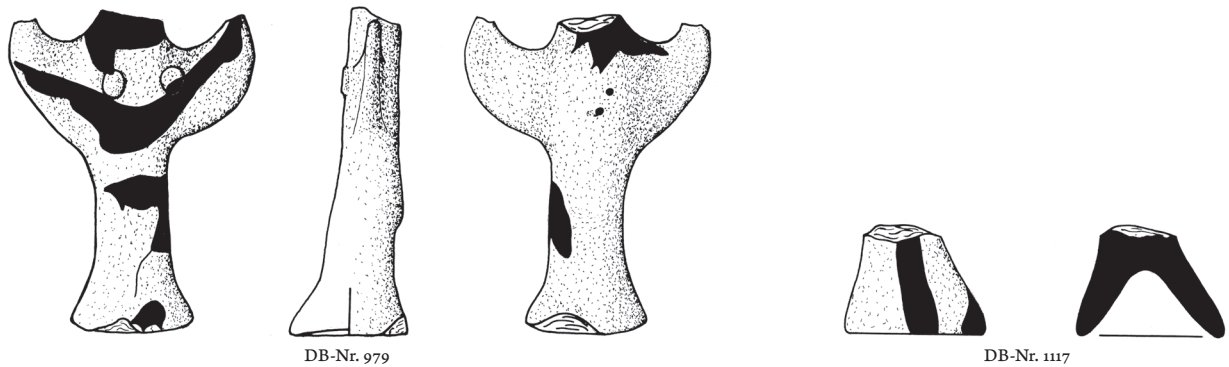


Abbildung 42

Kartierung der Kleinfunde im dritten Siedlungshorizont von Stadt Nordwest in Relation zu den Fundstellen der Figurinen (mit * und DB-Nr. gekennzeichnet)

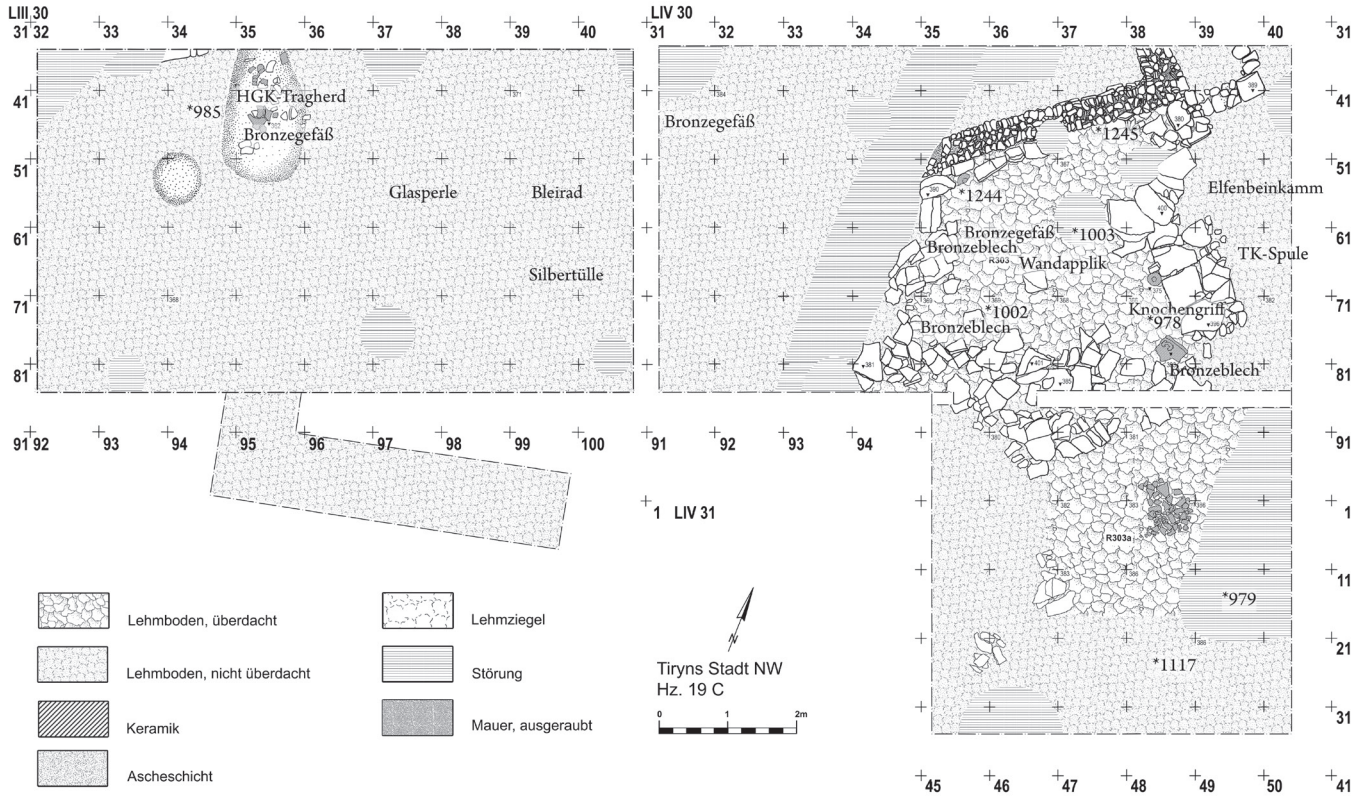
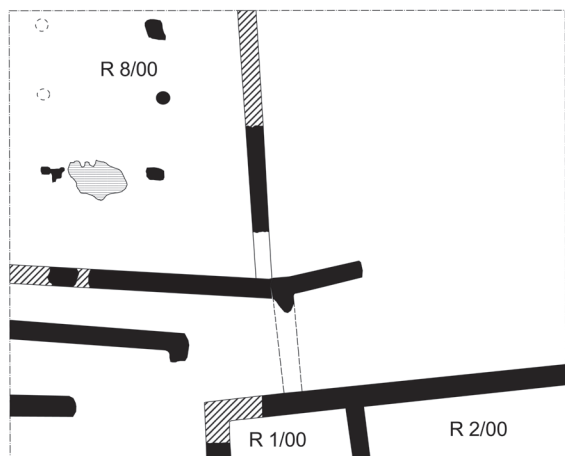
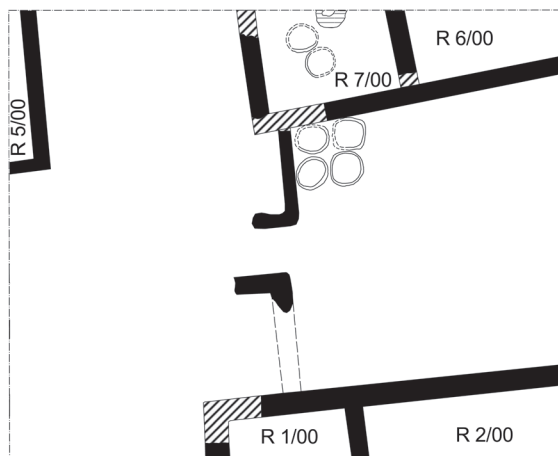


Abbildung 43

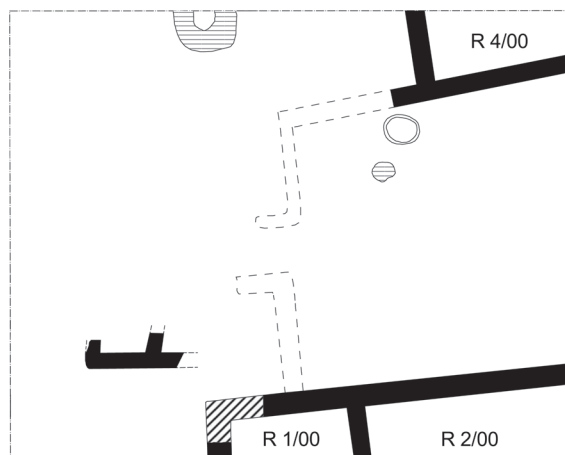
schematische Phasenpläne der Phasen 2–5
in Stadt Nordost



Phase 2



Phase 3



Phase 4



Phase 5



Abbildung 44

statistische Verteilung der Figurinenfragmente aus Stadt Nordost

56 Fragmente, insgesamt 55 Figurinen (am=20, zm=25, sm=4, kom=6)

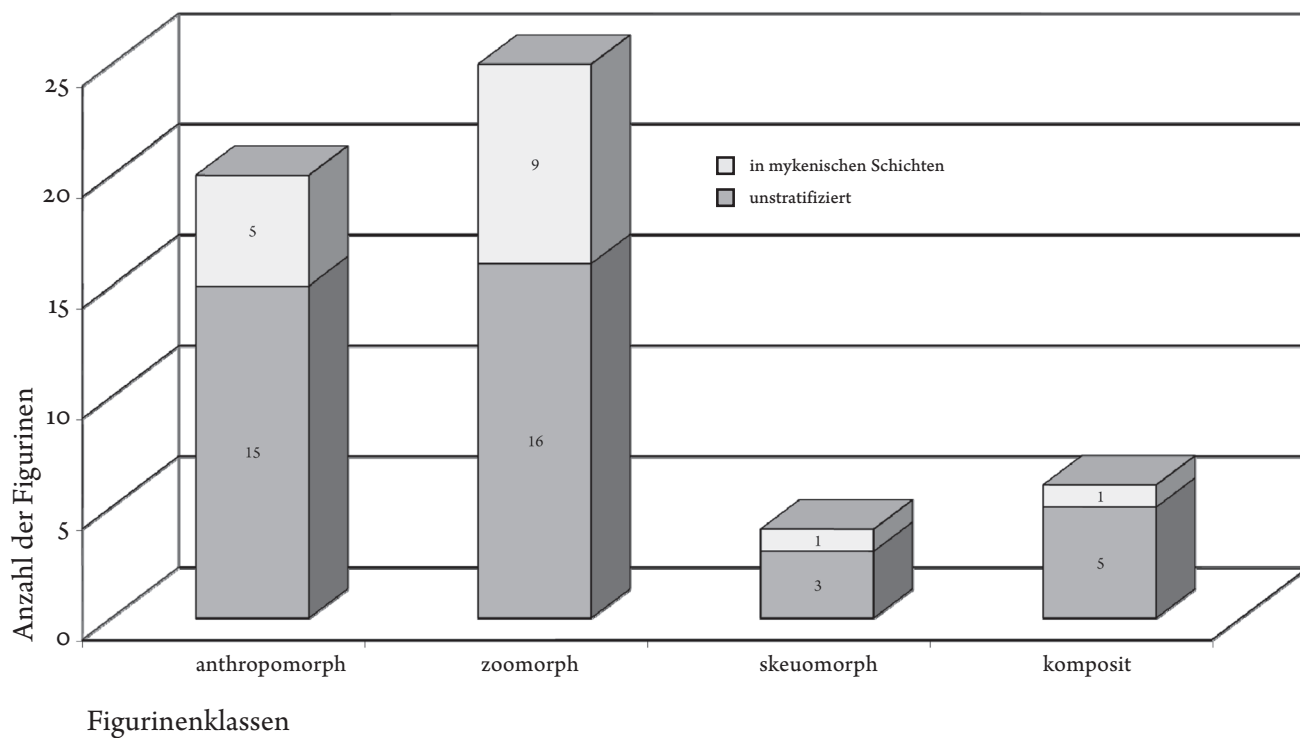
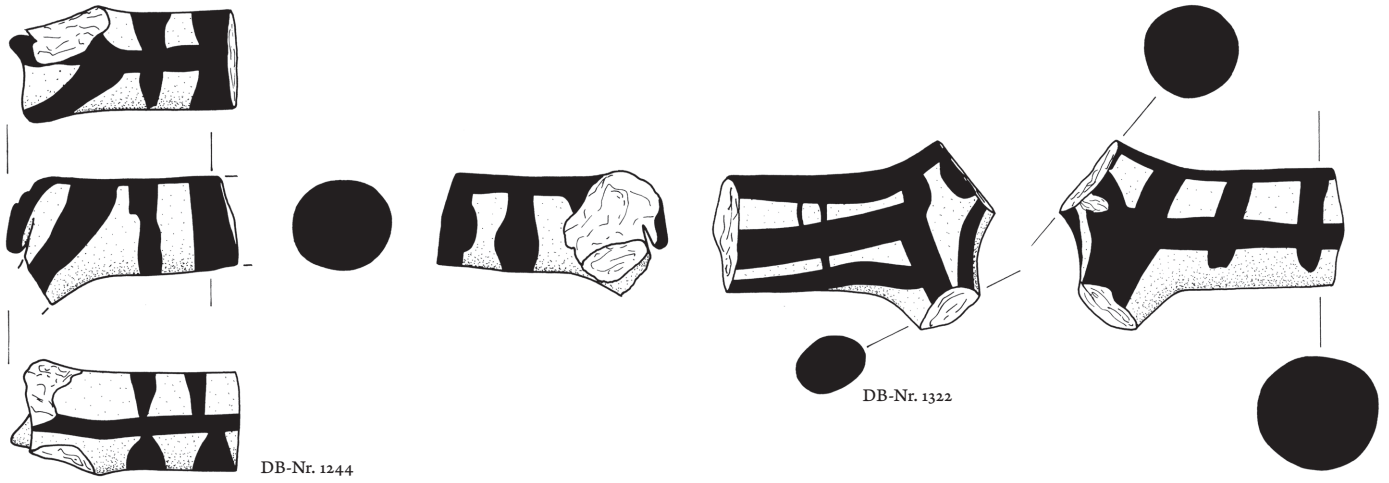


Abbildung 45

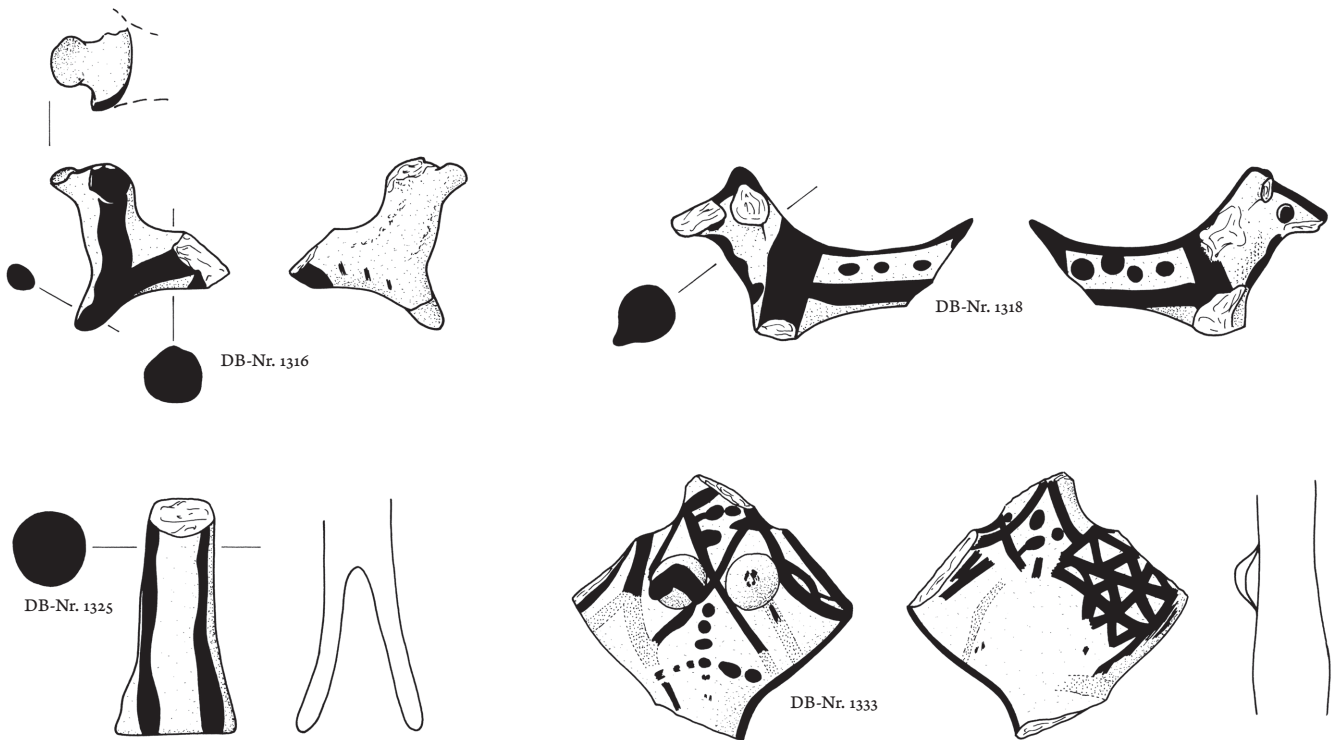
Figurinen aus Phase 1 Stadt Nordost

Figurinen aus dem ältesten Siedlungshorizont

>Phase 1a<



>Phase 1b<



>Phase 1c<?

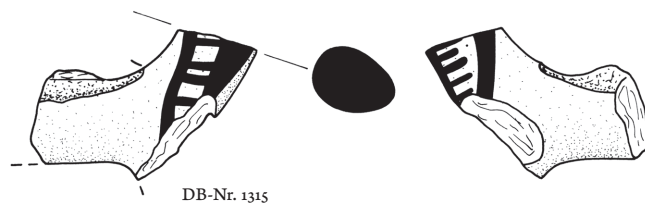


Abbildung 46

schematischer Plan der südwestlichen Unterburg während des Horizontes 21 c1 mit den Räumen R126 und R127

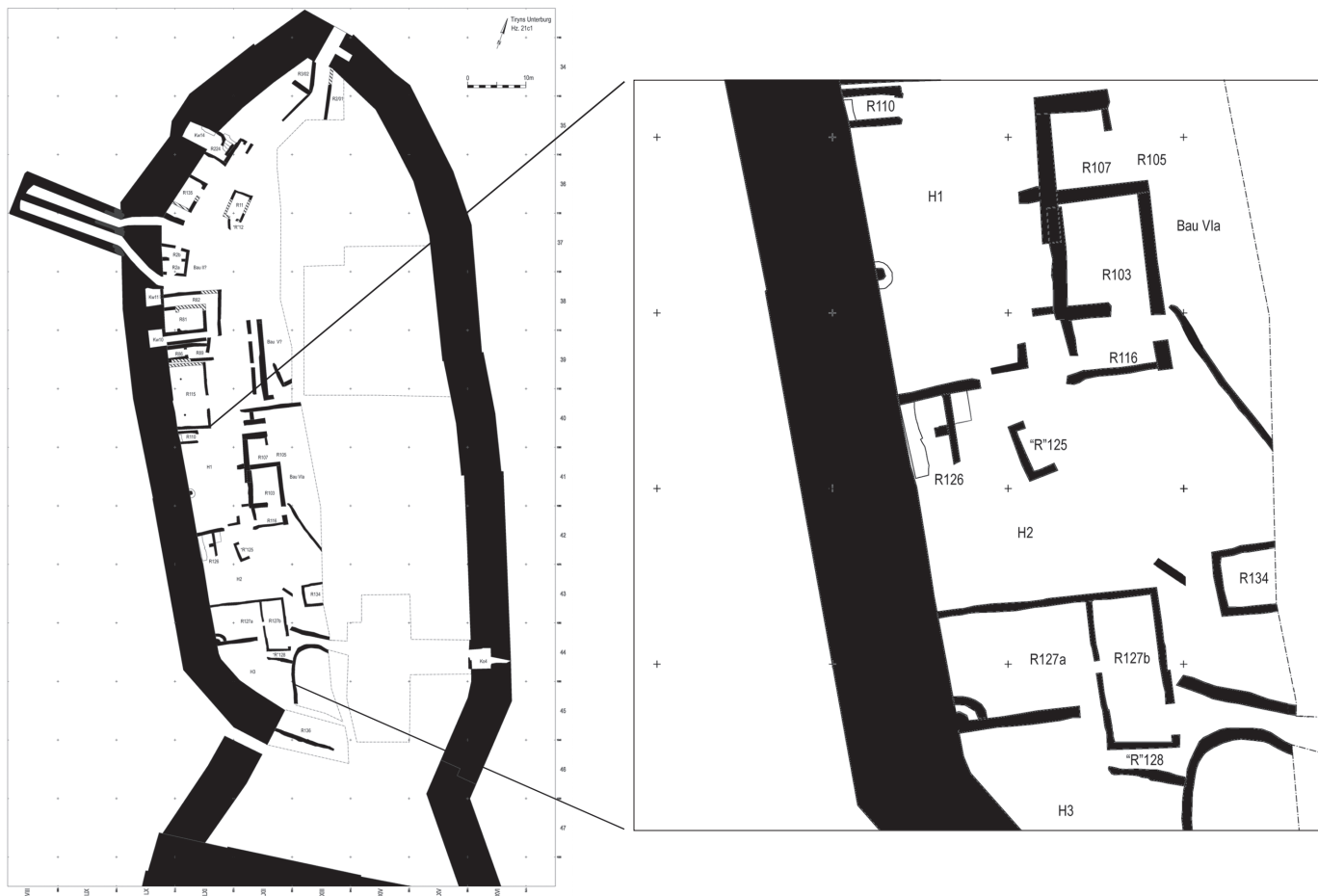


Abbildung 47

schematischer Plan der südwestlichen Unterburg während des Horizontes 22 a1 mit den Räumen R126 und R127



Abbildung 48

schematischer Plan der südwestlichen Unterburg während des Horizontes 22 c1 mit den Räumen des Baus VIa



Abbildung 49

Vergleich der anthropomorphen und skeuomorphen Terrakotten am Beginn und Ende des Horizontes 22 in der Unterburg

Horizont 22 Anfang

anthropomorph



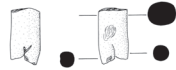
DB-Nr. 14
M 1 : 4



DB-Nr. 1542
M 1 : 4

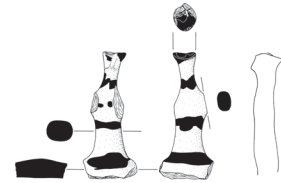


DB-Nr. 1632
M 1 : 4



DB-Nr. 1923
M 1 : 4

Horizont 22 Ende



DB-Nr. 1190
M 1 : 4



DB-Nr. 2400
M 1 : 8

skeuomorph

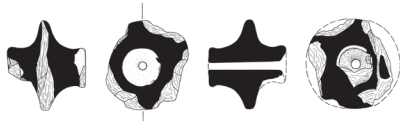
M 1 : 4



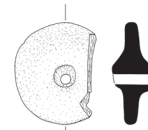
DB-Nr. 1535



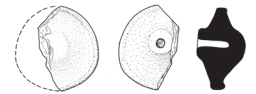
DB-Nr. 1975



DB-Nr. 1566 und DB-Nr. 1567



DB-Nr. 1565



DB-Nr. 1564



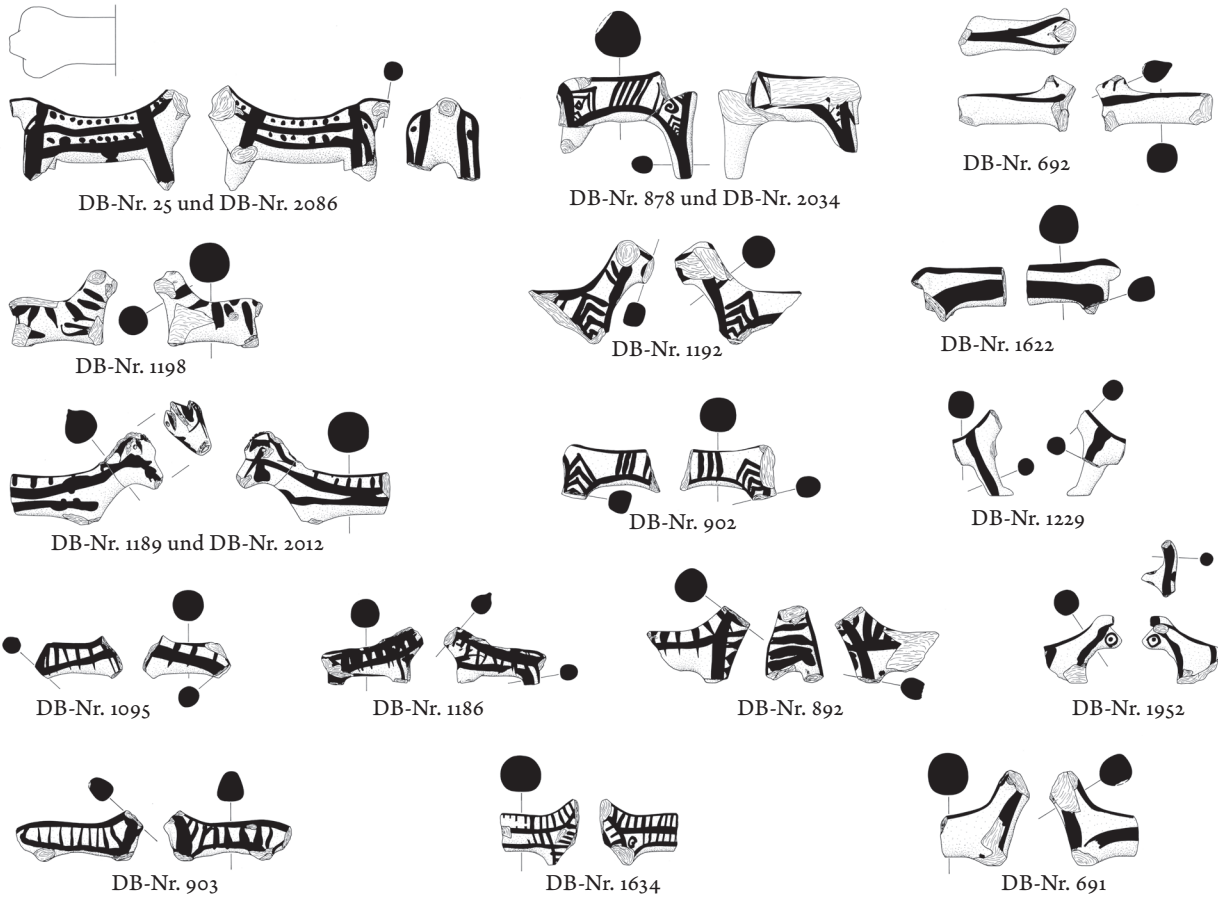
DB-Nr. 1563

Abbildung 50

Vergleich der zoomorphen Terrakotten am Beginn und Ende
des Horizontes 22 in der Unterburg M 1: 4

Horizont 22 Anfang

nicht-linearer Dekor und spätes Leiternmuster sowie spätes Linearmuster



Horizont 22 Ende

nicht-linearer Dekor und spätes Leiternmuster sowie spätes Linearmuster

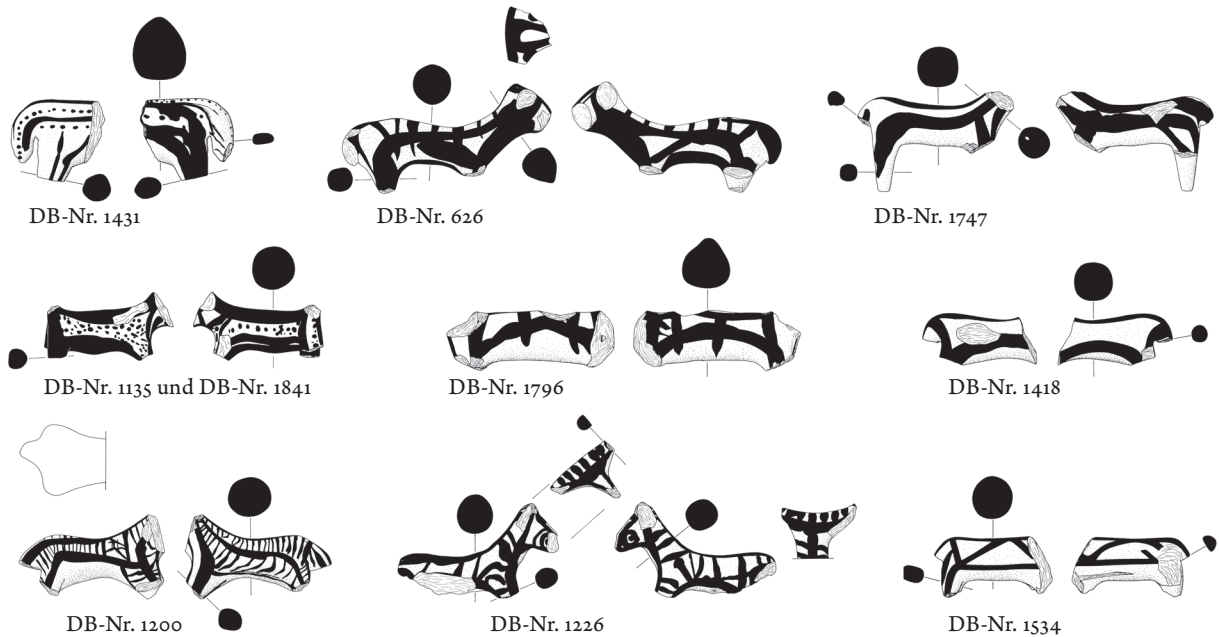
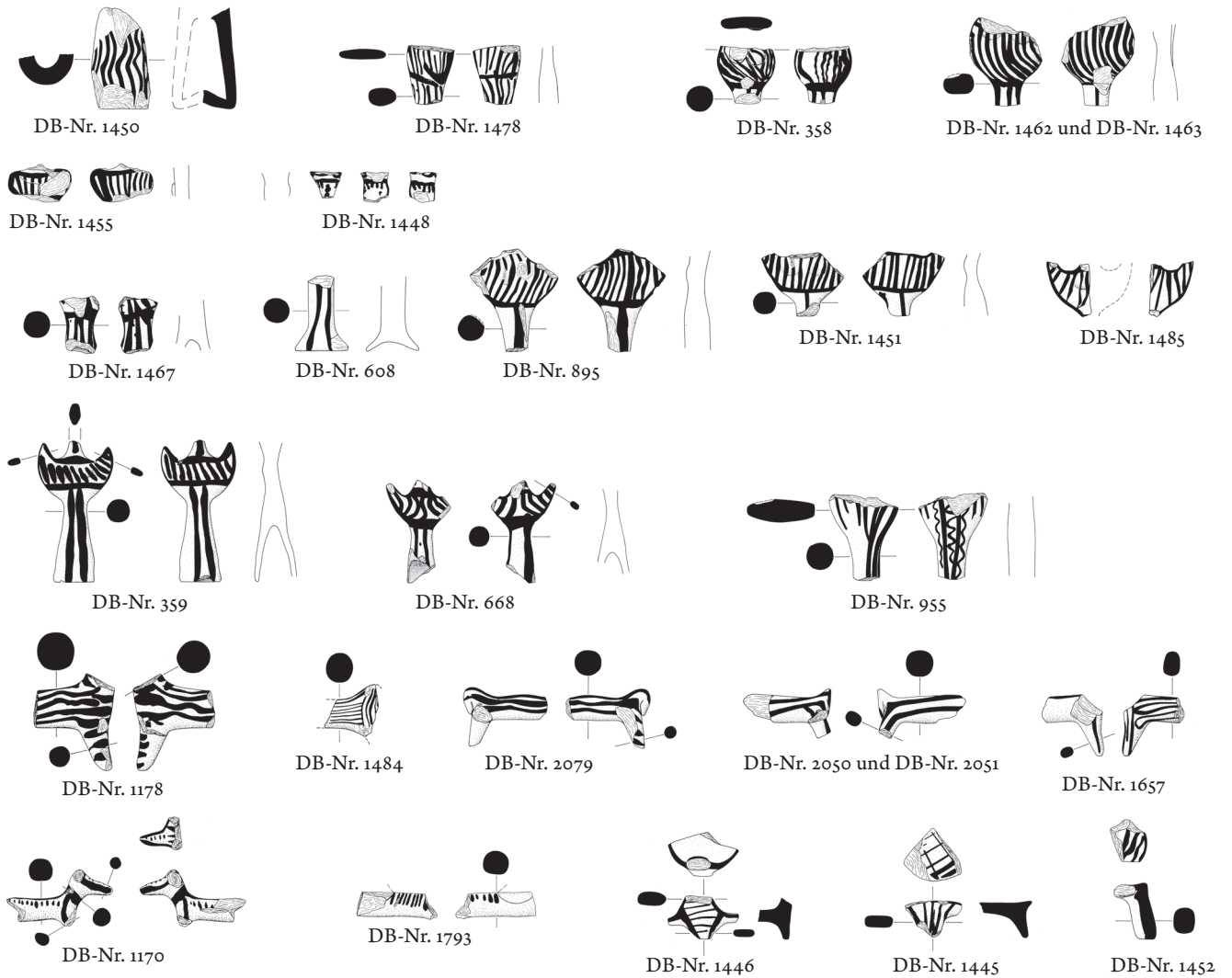


Abbildung 51

palastzeitliche und nachpalastzeitliche Figurinenfragmente aus dem Bau VIa und seinem Umfeld M 1 : 4

Palastzeitliche Fragmente



Nachpalastzeitliche Fragmente

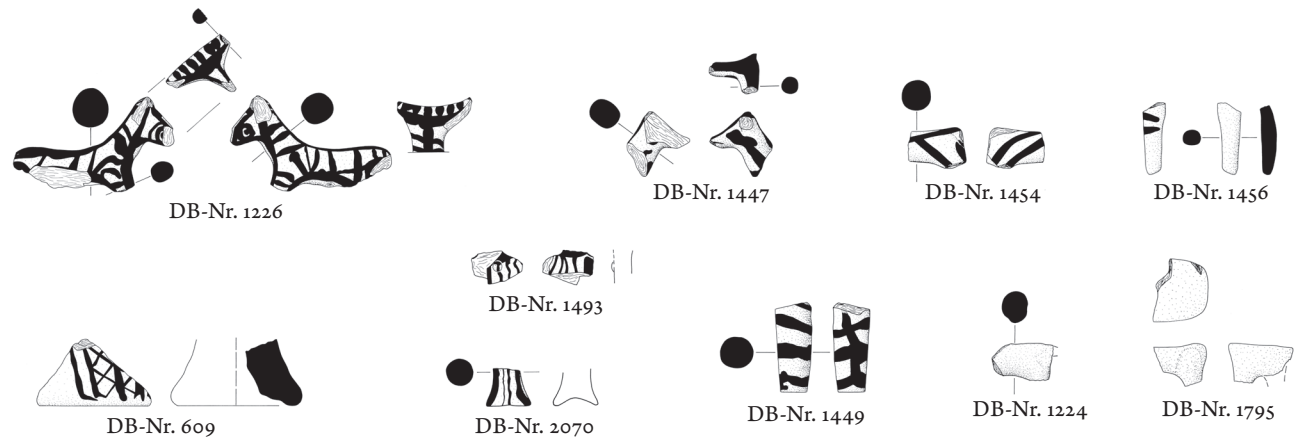


Abbildung 52

schematischer Plan der südwestlichen Unterburg während des Horizontes 22 d mit Raum R104

